



دانشگاه صنعتی شریف
هسته پژوهشی هدایت و کنترل

سیستم‌های ناوبری اینرسی متصل به بدنه

ویرایش اول

نگارش

هادی نوبهاری و حامد محمدکریمی

آذر ۱۳۹۱

سیستم‌های ناوبری اینرسی متصل به بدنه

چکیده

مجموعه حاضر با هدف آموزش مبانی سیستم‌های ناوبری اینرسی از نوع متصل به بدنه، توسط «هسته پژوهشی هدایت و کنترل» دانشگاه صنعتی شریف تدوین شده است. برای این منظور مبانی فیزیکی و ریاضی مورد نیاز در استخراج روابط ناوبری سیستم‌های اینرسی متصل به بدنه، به طور اجمال بیان شده است. در استخراج این روابط، رویکرد تنسوری مدنظر بوده است.

فرایند تراز یابی اولیه سیستم ناوبری اینرسی متصل به بدنه نیز معرفی شده است. این فرآیند شامل دو مرحله «ترازیابی خام» و «ترازیابی دقیق» است. در ویرایش فعلی تنها مباحث مربوط به تراز یابی خام پوشش داده شده است. در این روش با استفاده از حسگرهای اینرسی، وضعیت اولیه جسم تعیین می‌شود. همچنین دقت نهایی یک بلوک ناوبری اینرسی در الگوریتم تراز یابی خام، به صورت تحلیلی محاسبه شده است.

توجه:

هر گونه استفاده از مطالب این مجموعه آموزشی تنها در صورت ارجاع به آن مطابق با الگوی پایین صفحات مجاز است.

صفحه

فهرست عناوین

۱	مقدمه	۱
۳	۲ تعاریف، مفاهیم و مبانی ریاضی	۳
۳	۱.۲ تعاریف	۳
۴	۱.۱.۲ نقطه	۴
۴	۲.۱.۲ چهارچوب	۴
۴	۳.۱.۲ بردار فیزیکی	۴
۴	۴.۱.۲ دستگاه مختصات	۴
۴	۵.۱.۲ دستگاه مختصات کارتزین	۴
۵	۶.۱.۲ بردار عددی	۵
۵	۷.۱.۲ تنسور مرتبه صفر	۵
۵	۸.۱.۲ تنسور مرتبه اول	۵
۵	۹.۱.۲ تنسور مرتبه دوم	۵
۶	۱۰.۱.۲ تنسورهای کارتزین	۶
۶	۱۱.۱.۲ تنسور شبه متقارن	۶
۷	۱۲.۱.۲ بردار موقعیت	۷
۷	۲.۲ جبر تنسوری	۷
۷	۱.۲.۲ قواعد بنیادی	۷
۸	۲.۲.۲ عملگرهای ریاضی	۸
۹	۳.۲.۲ سایر روابط مورد استفاده	۹
۹	۳.۲ چهارچوب‌ها و دستگاه‌های مختصات مرسوم	۹
۱۰	۱.۳.۲ چهارچوب اینرسی J2000	۱۰
۱۰	۲.۳.۲ چهارچوب زمین	۱۰
۱۱	۳.۳.۲ چهارچوب بدنی	۱۱
۱۲	۴.۳.۲ دستگاه مختصات جغرافیایی	۱۲
۱۲	۵.۳.۲ دستگاه مختصات زمین تخت	۱۲
۱۳	۴.۲ دوران جسم و مباحث مرتبط با آن	۱۳
۱۳	۱.۴.۲ ماتریس انتقال و خصوصیات آن	۱۳
۱۴	۲.۴.۲ ماتریس‌های انتقال پر کاربرد	۱۴
۱۵	۱.۲.۴.۲ ماتریس انتقال از دستگاه مختصات اینرسی (I) به دستگاه مختصات زمین (E)	۱۵
۱۵	۲.۲.۴.۲ ماتریس انتقال از دستگاه مختصات زمین (E) به دستگاه مختصات جغرافیایی (G)	۱۵
۱۶	۳.۲.۴.۲ ماتریس انتقال از دستگاه مختصات جغرافیایی (G) به دستگاه مختصات بدنی (B)	۱۶
۱۸	۴.۲.۴.۲ ماتریس انتقال از دستگاه مختصات زمین تخت (L) به دستگاه مختصات بدنی (B)	۱۸
۱۸	۳.۴.۲ تنسور دوران	۱۸

۴.۴.۲	مشتق دورانی.....	۱۹
۵.۴.۲	سرعت زاویه‌ای.....	۲۰
۶.۴.۲	قانون انتقال اویلر.....	۲۰
۷.۴.۲	روش‌های محاسبه وضعیت.....	۲۱
۱.۷.۴.۲	زوایای اویلر.....	۲۱
۲.۷.۴.۲	کسینوس‌های هادی.....	۲۲
۳.۷.۴.۲	کواترنیون‌ها.....	۲۲
۸.۴.۲	دوران‌های کوچک.....	۲۳
۹.۴.۲	عملگرهای خطی ساز.....	۲۵
۱.۹.۴.۲	عملگر اغتشاش δ	۲۵
۲.۹.۴.۲	عملگر اغتشاش ε	۲۵
۳ معادلات ناوبری در سیستم‌های متصل به بدنه..... ۲۷		
۱.۳	مدل سازی حرکت انتقالی.....	۲۷
۱.۱.۳	سرعت و شتاب.....	۲۷
۲.۱.۳	مومنوم خطی.....	۲۸
۳.۱.۳	قوانین نیوتن.....	۲۹
۱.۳.۱.۳	قانون دوم نیوتن برای یک جرم نقطه‌ای.....	۲۹
۲.۳.۱.۳	قانون دوم نیوتن برای یک جسم.....	۲۹
۲.۳	ناوبری نسبت به دستگاه جغرافیایی.....	۳۰
۱.۲.۳	معادله موقعیت.....	۳۰
۲.۲.۳	معادله سرعت.....	۳۱
۳.۲.۳	معادله وضعیت.....	۳۴
۴ حل معادلات ناوبری..... ۳۵		
۱.۴	حل دستگاه معادلات دیفرانسیل خطی همگن با ضرایب ثابت.....	۳۵
۲.۴	انتشار گسسته.....	۳۵
۱.۲.۴	کسینوس‌های هادی.....	۳۶
۲.۲.۴	کواترنیون‌ها.....	۳۷
۳.۴	متعامدسازی.....	۳۸
۴.۴	نرمالیزه کردن.....	۳۹
۱.۴.۴	کواترنیون‌ها.....	۳۹
۲.۴.۴	ماتریس انتقال.....	۴۰
۵ تراز یابی اولیه..... ۴۱		
۱.۵	استخراج ماتریس انتقال از روی خروجی حسگرها.....	۴۱

۴۳ ۲.۵ اثر خطای حسگرها
۴۶ منابع و مراجع
۴۷ پیوست الف: مدل زمین

صفحه

فهرست اشکال

شکل ۱.۲	نمایش سه بردار موقعیت بین سه نقطه	۷
شکل ۲.۲	چهارچوب اینرسی J2000 و دستگاه مختصات متناظر با آن	۱۰
شکل ۳.۲	چهارچوب زمین و دستگاه مختصات متناظر با آن	۱۱
شکل ۴.۲	چهارچوب بدنی و دستگاه مختصات متناظر با آن	۱۱
شکل ۵.۲	دستگاه مختصات جغرافیایی	۱۲
شکل ۶.۲	ارتباط دستگاه‌های مختصات اینرسی و زمین	۱۵
شکل ۷.۲	ارتباط دستگاه‌های مختصات زمین و جغرافیایی	۱۶
شکل ۸.۲	ارتباط دستگاه‌های مختصات جغرافیایی و بدنی	۱۷
شکل ۹.۲	چهارچوب‌های A و B و بردارهای یکه آن‌ها	۱۸
شکل ۱۰.۲	دوران کوچک	۲۴
شکل ۱.۳	مومنوم خطی یک ذره	۲۸
شکل ۲.۳	مومنوم خطی جسم B	۲۸
شکل ۳.۳	اختلاف بین امتداد بردار گرانش زمین (g) با امتداد گرانش محلی قابل اندازه‌گیری توسط شاقول	
(g _L)		۳۱
شکل الف-۱	هندسه زمین بیضوی	۴۸
شکل الف-۲	صفحه استوا (X-Y)	۵۰

صفحه

فهرست جداول

جدول ۱.۲ مقایسه مدل سازی و شبیه سازی.....	۳
جدول الف-۱ ثوابت چند مدل زمین بیضوی.....	۵۲
جدول الف-۲ ثوابت مدل WGS-84.....	۵۲

فهرست علائم

لاتین

تنسور یکانی مرتبه دوم	\mathbf{E}
مقدار حقیقی خروجی شتاب‌سنج کانال x	f_x
مقدار حقیقی خروجی شتاب‌سنج کانال y	f_y
مقدار حقیقی خروجی شتاب‌سنج کانال z	f_z
بردار جاذبه	\mathbf{g}
ارتفاع از سطح بیضی‌گون مبنا	h
موقعیت مبدا چهارچوب بدنی نسبت به مرکز زمین	\mathbf{r}_{BE}
شعاع زمین	R_e
ماتریس تبدیل از چهارچوب B به چهارچوب A	$[\mathbf{T}]^{AB}$
مولفه سرعت نسبت به زمین در راستای شمال جغرافیایی	v_n
مولفه سرعت نسبت به زمین در راستای شرق جغرافیایی	v_e
مولفه سرعت نسبت به زمین و به سمت مرکز زمین	v_d
سرعت مبدا چهارچوب بدنی نسبت به چهارچوب زمین	\mathbf{v}_B^E
تخمین بردار \mathbf{x}	$\hat{\mathbf{x}}$
تخمین تنسور مرتبه دوم \mathbf{X}	$\hat{\mathbf{X}}$

یونانی

طول جغرافیایی	ℓ
عرض جغرافیایی	λ
عملگر اغتشاش	ε
مولفه بردار انحراف در راستای شمال جغرافیایی	$\varepsilon\phi$
مولفه بردار انحراف در راستای شرق جغرافیایی	$\varepsilon\theta$

مولفه بردار انحراف به سمت مرکز زمین	ε_{ψ}
بردار انحراف تخمین دستگاه جغرافیایی نسبت به دستگاه جغرافیایی واقعی	$\varepsilon \mathbf{r}^{\hat{N}N}$
تنسور شبه‌متقارن بردار انحراف تخمین دستگاه جغرافیایی نسبت به دستگاه جغرافیایی واقعی	$\varepsilon \mathbf{R}^{\hat{N}N}$
بردار سرعت زاویه‌ای چهارچوب A نسبت به چهارچوب B	ω^{AB}
تنسور شبه‌متقارن بردار سرعت زاویه‌ای چهارچوب A نسبت به چهارچوب B	Ω^{AB}
مقدار حقیقی خروجی جابرو نرخ‌ی کانال x	ω_x
مقدار حقیقی خروجی جابرو نرخ‌ی کانال y	ω_y
مقدار حقیقی خروجی جابرو نرخ‌ی کانال z	ω_z

بالانویس

چهارچوب ناوبری	N
چهارچوب اینرسی	I
چهارچوب زمین	E
چهارچوب بدنی	B

زیرنویس

نقطه A	A
--------	---

۱ مقدمه

ناوبری علم تعیین موقعیت و وضعیت یک جسم است. کلمه Navigation از دو کلمه لاتین به معنی کشتی و حرکت گرفته شده و اساساً به معنی مسیریابی در دریا است؛ اما با شروع مسافرت‌های هوایی و فضایی این کلمه به مفهوم مسیریابی در هوا، خشکی و دریا نیز به کار رفته است. مسیریابی اولیه که توسط اجرام سماوی و قطب‌نمای مغناطیسی انجام می‌شد، بر پایه مشاهده استوار بود و با استفاده از نقشه و لوازم ترسیم، تکمیل می‌شد. با پیشرفت علوم و تکنولوژی امروزه برای ناوبری از سیستم‌های پیشرفته‌ای استفاده می‌شود که قادر به مشخص کردن طول و عرض جغرافیایی، ارتفاع، سرعت و وضعیت دورانی جسم با دقت بسیار زیاد هستند.

در سال‌های گذشته از روش‌های زیادی برای مسیریابی و تعیین موقعیت استفاده شده که هر یک ضمن داشتن مزایا، معایب خاص خود را نیز داشته‌اند. ناوبری اینرسی یکی از این روش‌ها است که در آن موقعیت وسیله بر اساس خروجی حسگرهای حرکتی (شتاب‌سنج و سرعت‌سنج زاویه‌ای) به‌روز می‌شود. مهم‌ترین مشکل این سیستم تجمع خطا با گذشت زمان است. از مزایای ناوبری اینرسی می‌توان به موارد زیر اشاره کرد:

- بعد از تنظیم شرایط اولیه، دیگر نیازی به اطلاعات خارجی ندارد.
- این سیستم متأثر از شرایط آب و هوایی نیست.
- قابل شناسایی و جمینگ نیست.

سیستم‌های ناوبری اینرسی به دو دسته «متصل به بدنه»^۱ و «صفحه پایدار»^۲ تقسیم می‌شوند. در سیستم‌های صفحه پایدار، پارامترهای حرکت (شتاب و سرعت زاویه‌ای) در دستگاهی محاسبه می‌شود که نسبت به فضای اینرسی ثابت است. در سیستم‌های متصل به بدنه، پارامترهای حرکت در دستگاه بدنی بیان می‌شوند. این مجموعه به مباحث مربوط به سیستم ناوبری متصل به بدنه می‌پردازد.

^۱ Strapdown

^۲ Stable Platform

در سیستم ناوبری اینرسی متصل به بدنه هدف این است که با استفاده از حسگرهای اینرسی، شامل حداقل سه جایروی نرخی و سه شتابسنج و به کمک الگوریتمی که در کامپیوتر سیستم پیاده‌سازی می‌شود، موقعیت و وضعیت جسم تعیین شود.

قبل از شروع به کار سیستم ناوبری اینرسی لازم است که شرایط اولیه شامل مکان و وضعیت اولیه سیستم مشخص شود. به این فرآیند ترازبایی اولیه گفته می‌شود. این فرآیند در دو مرحله متوالی انجام می‌شود و در هر مرحله به دقت آن افزوده می‌شود. این دو مرحله عبارتند از:

- ترازبایی خام^۱
- ترازبایی دقیق^۲

ترازبایی خام:

این مرحله شامل یک تخمین اولیه از وضعیت^۳ جسم است. در این قسمت از موقعیت جسم و مدل زمین برای محاسبه گرانش و دوران اسمی زمین استفاده می‌شود؛ سپس با مقایسه مقادیر نامی گرانش و دوران با مقادیر اندازه‌گیری شده توسط شتابسنج‌ها و جایروهای نرخی، یک تخمین اولیه از وضعیت جسم (ماتریس تبدیل) حاصل می‌شود. موفقیت در این مرحله مستلزم دانش دقیق از مدل زمین و دقت مناسب حسگرهای ناوبری است.

ترازبایی دقیق:

در این مرحله از یک الگوریتم فیلتر تخمین‌گر، مثلاً فیلتر کالمن، برای افزایش دقت ترازبایی خام استفاده می‌شود؛ فیلتر طراحی شده بر اساس خروجی حسگرها و مدل خطای آنها و همچنین معادلات خطی شده ناوبری، ترازبایی خام را اصلاح می‌کند. در این مرحله اختلاف تخمین ماتریس تبدیل و ماتریس تبدیل واقعی، با بردار انحراف^۴ مدل می‌شود و الگوریتم ناوبری سعی در کوچک کردن اندازه این بردار می‌کند.

در فصل دوم این گزارش مبانی ریاضی و فیزیکی مورد نیاز در ناوبری اینرسی متصل به بدنه بیان می‌شود. در فصل سوم معادلات ناوبری این سیستم‌ها استخراج می‌شود. در فصل چهارم نحوه حل عددی معادلات ناوبری و همچنین برخی نکات لازم برای افزایش دقت ناوبری بیان می‌شود. در فصل پنجم معادلات ترازبایی خام، دقت ترازبایی خام و انواع روش‌های آن معرفی می‌شود. نهایتاً در پیوست الف، «مدل زمین» معرفی می‌شود.

¹ Coarse Alignment

² Fine Alignment

³ Attitude

⁴ Tilt Vector

۲ تعاریف، مفاهیم و مبانی ریاضی

در این فصل تعاریف اولیه و مبانی ریاضی مورد نیاز برای مدل سازی معادلات ناوبری سیستم های اینرسی متصل به بدنه تشریح می شود. بسیاری از مفاهیم ارائه شده در این فصل برگرفته از مرجع [۱] است. لذا در صورتیکه خواننده با این مفاهیم آشنایی دارد، می تواند از این فصل عبور کند.

خلاصه ای از واقعیت را مدل گویند. به بیان دیگر، نمایش فیزیکی یک شیء یا سیستم را مدل آن می نامند. به فرایند ایجاد و انتخاب مدل، مدل سازی گفته می شود. پیاده سازی یک مدل در محیط رایانه ای را شبیه سازی می نامند. مدل سازی مقدمه شبیه سازی است و می توان گفت که مدل سازی مربوط به دنیای مدل ها و شبیه سازی مربوط به دنیای اعداد است. در شبیه سازی باید ارتباط دنیای مدل ها با دنیای اعداد برقرار شود. مقایسه ای بین عناصر مدل سازی و شبیه سازی در جدول ۱.۲ انجام شده است. موارد مطرح شده در این جدول در طول این فصل تبیین می شود.

جدول ۱.۲ مقایسه مدل سازی و شبیه سازی

دنیای مدل ها	دنیای اعداد
تنسور مرتبه اول (بردار فیزیکی)	بردار (بردار عددی)
تنسور مرتبه دوم	ماتریس
چهارچوب ^۱	دستگاه مختصات
تنسور دوران ^۲	ماتریس انتقال (ماتریس دوران)
مشتق دورانی ^۳	مشتق معمولی (مشتق عددی)

۱.۲ تعاریف

در این بخش تعاریف اولیه مورد نیاز برای مدل سازی سیستم ناوبری اینرسی متصل به بدنه بیان می شود.

^۱ Frame

^۲ Rotation Tensor

^۳ Rotational Time Derivative

۱.۱.۲ نقطه^۱

نقطه یک مدل ریاضی از اشیای فیزیکی است که بسط فضایی آن‌ها اهمیت ندارد. از نقطه برای مدل‌سازی موقعیت اجسام بدون در نظر گرفتن وضعیت آن‌ها استفاده می‌شود. برای نمایش نقطه از حروف بزرگ معمولی (غیرایتالیک) به صورت زیرنویس استفاده می‌شود.

۲.۱.۲ چهارچوب

چهارچوب یا قاب یک مجموعه به هم پیوسته از نقاط است که فواصل آنها نسبت به یکدیگر ثابت و حداقل شامل سه نقطه غیرهم خط می‌شود. یک چهارچوب علاوه بر موقعیت دارای وضعیت نیز هست. به طور مثال نقاط به هم پیوسته تشکیل دهنده بدنه یک وسیله پرنده را می‌توان چهارچوب بدنی نامید. برای نمایش چهارچوب از حروف بزرگ معمولی (غیرایتالیک) به صورت بالانویس استفاده می‌شود.

۳.۱.۲ بردار فیزیکی

بردار فیزیکی یک مفهوم انتزاعی از یک پاره خط در فضای اقلیدسی است که جهت آن نیز مشخص شده است. به طور مثال اگر یک پاره خط مرکز زمین را به مرکز ماه وصل کند و برای آن جهت نیز در نظر گرفته شود، این پاره خط جهت دار یک بردار فیزیکی نامیده می‌شود. برای نمایش یک بردار فیزیکی از حروف کوچک ضخیم استفاده می‌شود.

۴.۱.۲ دستگاه مختصات^۲

سه بردار فیزیکی غیرهم صفحه در یک فضای اقلیدسی یک دستگاه مختصات را ایجاد می‌کنند. برای نمایش دستگاه مختصات از حروف بزرگ معمولی (غیرایتالیک) استفاده می‌شود.

روی یک چهارچوب می‌توان بی شمار دستگاه مختصات تعریف کرد. اما، باید به این نکته توجه داشت که همه دستگاه‌های قابل تعریف روی یک چهارچوب، نسبت به چهارچوب (و بنابراین نسبت به هم) ثابت‌اند.

۵.۱.۲ دستگاه مختصات کارتزین

سه بردار فیزیکی متعامد در یک فضای اقلیدسی یک دستگاه مختصات کارتزین را ایجاد می‌کنند.

¹ Point

² Coordinate System

۶.۱.۲ بردار عددی

سه مولفه یک بردار فیزیکی در یک دستگاه مختصات خاص، یک بردار عددی را ایجاد می‌کنند. به‌طور مثال مولفه‌های بردار فیزیکی اول از دستگاه مختصات A ، که معمولاً با \mathbf{i} نشان داده می‌شود، در همین دستگاه مختصات به‌صورت زیر بیان می‌شود:

$$[\mathbf{i}]^A = \begin{bmatrix} 1 \\ 0 \\ 0 \end{bmatrix} \quad (۱.۲)$$

در اینجا \mathbf{i} بردار فیزیکی است، منظور از $[\mathbf{i}]^A$ بیان بردار \mathbf{i} در دستگاه مختصات A است و بردار سمت راست بردار عددی است.

۷.۱.۲ تنسور مرتبه صفر

همان عدد اسکالر است (مانند جرم). بیان تنسور مرتبه صفر در دستگاه‌های مختصات متفاوت، یکسان است. تنسور مرتبه صفر با حروف کوچک نمایش داده می‌شود. اگر تنسور مرتبه صفر بیان‌کننده یک کمیت متغیر با زمان باشد، با حروف کوچک ایتالیک و در غیر اینصورت با حروف کوچک معمولی (غیر ایتالیک) نمایش داده می‌شود.

۸.۱.۲ تنسور مرتبه اول

منظور از تنسور مرتبه اول همان بردار فیزیکی است و بنابراین برای نمایش آن از حروف کوچک ضخیم (مثلاً \mathbf{x}) استفاده می‌شود.

۹.۱.۲ تنسور مرتبه دوم

مانند تنسور مرتبه اول یک مفهوم انتزاعی است که اگر در یک دستگاه مختصات بیان شود، به‌صورت یک ماتریس 3×3 ظاهر می‌شود. به‌طور مثال لختی دورانی یک جسم یک تنسور مرتبه دوم است و در صورت نیاز به کمی کردن آن در یک دستگاه مختصات، با یک ماتریس 3×3 قابل بیان است. تنسور مرتبه دوم با حروف بزرگ ضخیم (مثلاً \mathbf{X}) نمایش داده می‌شود.

۱۰.۱.۲ تنسورهای کارتزین

فرض کنید A و B بیان کننده دو دستگاه مختصات کارتزین باشند. اگر تنسور مرتبه اول \mathbf{x} در رابطه زیر صدق کند، یک تنسور کارتزین نامیده می شود:

$$[\mathbf{x}]^B = [T]^{BA} [\mathbf{x}]^A \quad (2.2)$$

که $[T]^{BA}$ ماتریس انتقال از دستگاه مختصات A به دستگاه مختصات B است. لازم به ذکر است که \mathbf{x} یک بردار فیزیکی و $[\mathbf{x}]^B$ یک بردار عددی است. به همین ترتیب، اگر تنسور مرتبه دوم \mathbf{X} در رابطه زیر صدق کند، یک تنسور کارتزین نامیده می شود:

$$[\mathbf{X}]^B = [T]^{BA} [\mathbf{X}]^A [\bar{T}]^{BA} \quad (3.2)$$

که $[\bar{T}]^{BA}$ ترانهاد ماتریس انتقال $[T]^{BA}$ و به بیان دیگر ماتریس انتقال از دستگاه مختصات B به دستگاه مختصات A است.

۱۱.۱.۲ تنسور شبه متقارن

برای یک تنسور مرتبه اول \mathbf{x} ، تنسور شبه متقارن \mathbf{X} به صورت زیر تعریف می شود. در اینجا برای نمایش کمی تنسور شبه متقارن از یک دستگاه مختصات دلخواه D استفاده شده است:

$$[\mathbf{x}]^D = \begin{bmatrix} x_1 \\ x_2 \\ x_3 \end{bmatrix} \leftrightarrow [\mathbf{X}]^D = \begin{bmatrix} 0 & -x_3 & x_2 \\ x_3 & 0 & -x_1 \\ -x_2 & x_1 & 0 \end{bmatrix} \quad (4.2)$$

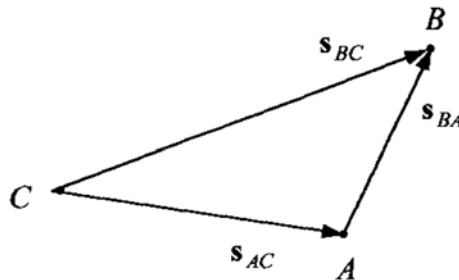
می توان نشان داد که روابط زیر در تنسورهای شبه متقارن برقرار است:

$$([\mathbf{X}]^D)^2 = \begin{bmatrix} -(x_2^2 + x_3^2) & x_1 x_2 & x_1 x_3 \\ x_2 x_1 & -(x_1^2 + x_3^2) & x_2 x_3 \\ x_3 x_1 & x_3 x_2 & -(x_1^2 + x_2^2) \end{bmatrix} \quad (5.2)$$

$$([\mathbf{X}]^D)^{n+2} = -(x_1^2 + x_2^2 + x_3^2) ([\mathbf{X}]^D)^n \quad \text{for } n \geq 1 \quad (6.2)$$

۱۲.۱.۲ بردار موقعیت

یک بردار فیزیکی است که توسط دو نقطه ساخته می‌شود. در شکل ۱.۲ سه بردار موقعیت بین سه نقطه نشان داده شده‌است. در این شکل منظور از s_{BC} بردار موقعیت نقطه B نسبت به نقطه C و به عبارت دیگر برداری است که از C شروع و به B ختم می‌شود.



شکل ۱.۲ نمایش سه بردار موقعیت بین سه نقطه

بردار موقعیت خواص زیر را دارد:

$$\begin{cases} s_{BA} = -s_{AB} \\ s_{BC} = s_{BA} + s_{AC} \end{cases} \quad (۷.۲)$$

رابطه تنسوری (۷.۲)، در دستگاه مختصات دلخواه D به صورت زیر بیان می‌شود:

$$[s_{BC}]^D = [s_{BA}]^D + [s_{AC}]^D \quad (۸.۲)$$

۲.۲ جبر تنسوری

در بخش ۱.۲ تعاریف تنسورهای مرتبه اول و مرتبه دوم بیان گردید. در این بخش عملگرها و قوانین حاکم بر این تنسورها تشریح می‌شود.

۱.۲.۲ قواعد بنیادی

در ادامه قوانین سه گانه حاکم بر تنسورهای مرتبه اول معرفی می‌شود:

• قاعده جابجایی^۱

$$s_{BC} = s_{BA} + s_{AC} = s_{AC} + s_{BA} \quad (۹.۲)$$

^۱ Commutative Rule

• قاعده شرکت پذیری^۱

$$(\mathbf{s}_{BC} + \mathbf{s}_{CA}) + \mathbf{s}_{AB} = \mathbf{s}_{BC} + (\mathbf{s}_{CA} + \mathbf{s}_{AB}) \quad (10.2)$$

• قاعده توزیع پذیری^۲

$$\begin{cases} \alpha(\beta \mathbf{s}_{AB}) = \beta(\alpha \mathbf{s}_{AB}) = (\alpha\beta)\mathbf{s}_{AB} \\ (\alpha + \beta)\mathbf{s}_{AB} = \alpha \mathbf{s}_{AB} + \beta \mathbf{s}_{AB} \end{cases} \quad (11.2)$$

۲.۲.۲ عملگرهای ریاضی

در این بخش عملگرهای ریاضی موجود در جبر تنسوری معرفی می‌شوند.

• ضرب داخلی

ضرب داخلی یا ضرب اسکالر به صورت زیر تعریف می‌شود:

$$\mathbf{x} \cdot \mathbf{y} = \bar{\mathbf{x}} \mathbf{y} = |\mathbf{x}| |\mathbf{y}| \cos \theta \quad (12.2)$$

در رابطه (۱۲.۲)، θ زاویه بین دو بردار \mathbf{x} و \mathbf{y} است و $|\mathbf{x}|$ اندازه \mathbf{x} است که به صورت زیر تعریف می‌شود:

$$|\mathbf{x}| = \sqrt{\mathbf{x}\mathbf{x}} \quad (13.2)$$

• ضرب خارجی

ضرب خارجی یا ضرب برداری به صورت زیر تعریف می‌شود:

$$\mathbf{x} \times \mathbf{y} = \mathbf{X}\mathbf{y} = -\mathbf{Y}\mathbf{x} = \mathbf{z} \quad (14.2)$$

ضرب خارجی خواص زیر را دارد:

- ضرب خارجی دو بردار، یک بردار است (\mathbf{z}).
- بردار \mathbf{z} بر \mathbf{x} و \mathbf{y} عمود است و جهت آن از قانون دست راست بدست می‌آید.
- اندازه بردار \mathbf{z} ، مساحت متوازی‌الاضلاع است که توسط بردارهای \mathbf{x} و \mathbf{y} ساخته می‌شود.
 $(\mathbf{z} = |\mathbf{x}| |\mathbf{y}| \sin \theta)$

¹ Associative Rule

² Distributive Rule

• ضرب سه گانه برداری

ضرب سه گانه برداری به صورت زیر تعریف می شود:

$$\mathbf{x} \times \mathbf{y} \times \mathbf{z} = \mathbf{XYz} \quad (۱۵.۲)$$

اگر سه بردار \mathbf{x} ، \mathbf{y} و \mathbf{z} هم صفحه باشند، ضرب سه گانه برداری آنها صفر می شود. می توان نشان داد:

$$\mathbf{x} \times \mathbf{y} \times \mathbf{z} = \mathbf{y}\bar{\mathbf{x}}\mathbf{z} - \mathbf{z}\bar{\mathbf{x}}\mathbf{y} \quad (۱۶.۲)$$

• ضرب سه گانه اسکالر

ضرب سه گانه اسکالر به صورت زیر تعریف می شود:

$$V = (\mathbf{x} \times \mathbf{y}) \cdot \mathbf{z} = (\bar{\mathbf{X}}\mathbf{y})\mathbf{z} = \bar{\mathbf{y}}\bar{\mathbf{X}}\mathbf{z} \quad (۱۷.۲)$$

در رابطه فوق اسکالر V برابر با حجم متوازی السطوحی است که توسط سه بردار \mathbf{x} ، \mathbf{y} و \mathbf{z} ساخته می شود.

۳.۲.۲ سایر روابط مورد استفاده

روابط تنسوری زیر نیز قابل اثبات هستند و بعضاً در مرتب سازی و مختصرنویسی معادلات تنسوری کاربرد دارند.

$$\mathbf{z} = \mathbf{Xy} \leftrightarrow \mathbf{Z} = \mathbf{XY} - \mathbf{YX} \quad (۱۸.۲)$$

$$\mathbf{XY} = \mathbf{yx}^T - \mathbf{y}^T\mathbf{x}\mathbf{E} \quad (۱۹.۲)$$

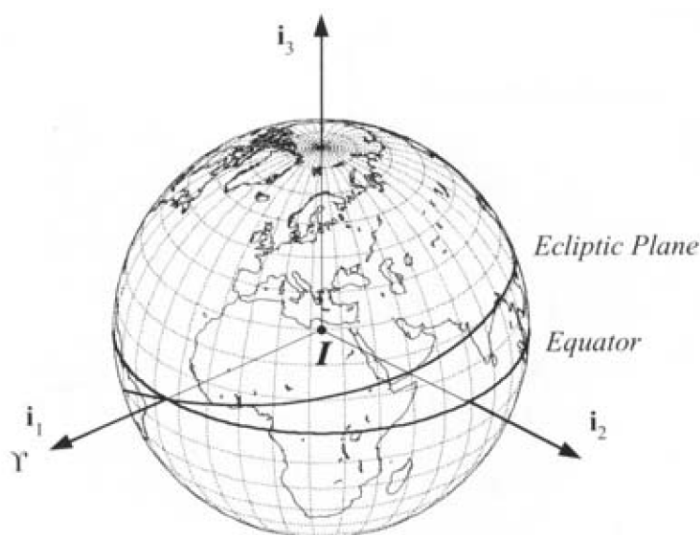
در رابطه فوق \mathbf{E} تنسور یکانی است.

۳.۲ چهارچوب ها و دستگاه های مختصات مرسوم

در این بخش چهارچوب ها و دستگاه های مختصات مرسوم شامل دستگاه مختصات اینرسی، زمین، جغرافیایی و بدنی معرفی می شوند. برای یک چهارچوب، بردارهای ارجح به عنوان بردارهایی تعریف می شوند که استفاده از آنها باعث سهولت محاسبات مرتبط با آن چهارچوب می شود. همچنین دستگاه مختصات ارجح، دستگاه مختصاتی است که بردارهای یکه آن با بردارهای ارجح چهارچوب متناظر تطابق دارند.

۱.۳.۲ چهارچوب اینرسی J2000

مبدا دستگاه مختصات ارجح این چهارچوب، منطبق بر مرکز زمین است و جهت بردارهای ارجح نسبت به صفحه مدار حرکت زمین به دور خورشید (Ecliptic Plane) تعریف می‌شود. بردارهای ارجح این چهارچوب با i_1 ، i_2 و i_3 نشان داده می‌شود (شکل ۲.۲).



شکل ۲.۲ چهارچوب اینرسی J2000 و دستگاه مختصات متناظر با آن

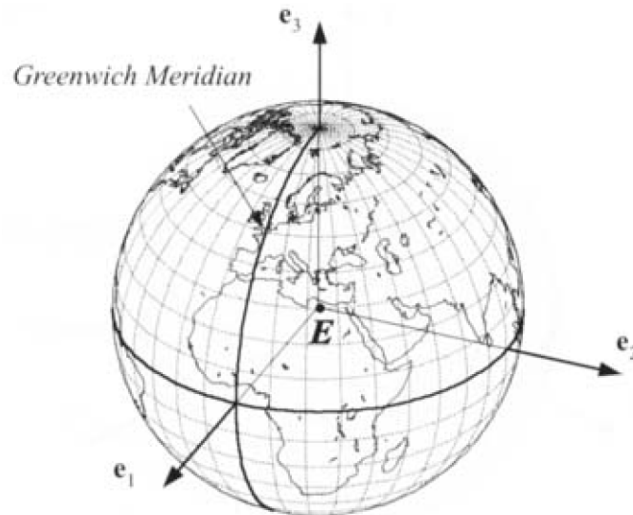
صفحه مدار چرخش زمین به دور خورشید نسبت به فضای اینرسی ثابت است. صفحه استوا نیز عمود بر محور دوران است و نسبت به فضای اینرسی ثابت است. این دو صفحه یکدیگر را در یک خط قطع می‌کنند که این خط از مرکز زمین می‌گذرد و در امتداد صورت فلکی حمل (γ) است. این خط در اولین روز بهار (اعتدال بهاری) رو به خورشید و در اولین روز پاییز (اعتدال پاییزی) پشت به آن است (در اولین روز بهار و پاییز مرکز زمین، خورشید و کله قوچ در یک امتداد قرار می‌گیرند). محور i_1 دستگاه J2000 در امتداد کله قوچ و رو به سوی آن است. بردار i_3 در جهت دوران زمین است و بردار i_2 یک دستگاه راست‌گرد متعامد را کامل می‌کند.

صفحه استوا، صفحه ecliptic و محور دوران زمین با گذشت زمان به‌کندی تغییر می‌کنند. لذا هر ۵۰ سال این دستگاه بروز می‌شود که آخرین آنها در سال ۲۰۰۰ انجام شد و معروف به Julian Epoch یا J2000 می‌باشد.

۲.۳.۲ چهارچوب زمین

مبدا دستگاه مختصات ارجح این چهارچوب منطبق بر مرکز زمین است و بردارهای ارجح این چهارچوب با e_1 ، e_2 و e_3 نشان داده می‌شود. اگر مرکز زمین را به نقطه تلاقی نصف‌النهار گرینویچ و دایره استوا

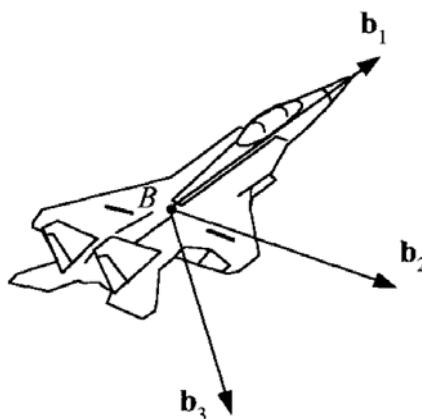
وصل کنیم، بردار e_1 مشخص می‌شود. بردار e_3 در جهت دوران زمین است و e_2 یک دستگاه راست‌گرد متعامد را کامل می‌کند.



شکل ۳.۲ چهارچوب زمین و دستگاه مختصات متناظر با آن

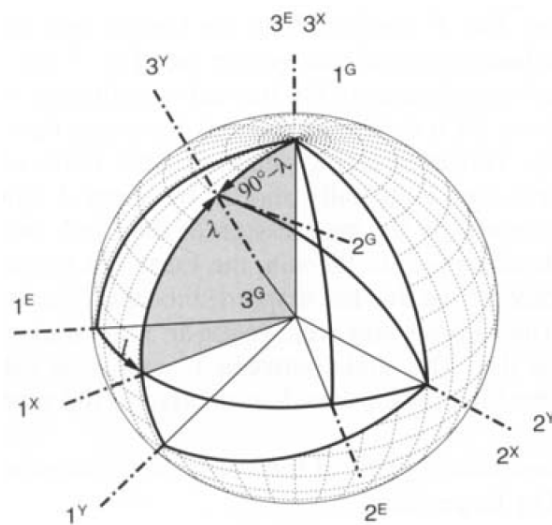
۳.۳.۲ چهارچوب بدنی

از این چهارچوب برای بررسی موقعیت و وضعیت جسم مورد مطالعه استفاده می‌شود. بردارهای ارجح این چهارچوب با b_1 ، b_2 و b_3 نشان داده می‌شوند. بردار b_1 این چهارچوب در راستای محور طولی وسیله (موشک و هواپیما) و به سمت دماغه است، b_2 در راستای بال راست و به سمت خارج است و b_3 یک دستگاه راست‌گرد متعامد را تکمیل می‌کند. معمولاً نقطه ثابتی از بدنه به عنوان مرکز دستگاه مختصات بدنی در نظر گرفته می‌شود.



شکل ۴.۲ چهارچوب بدنی و دستگاه مختصات متناظر با آن

از این دستگاه برای ناوبری در سطح زمین یا اطراف آن استفاده می‌شود. در واقع برای بیان موقعیت و سرعت روی یک سطح کروی، کارکردن با طول و عرض جغرافیایی ساده‌تر است. در یک موقعیت مشخص (طول و عرض جغرافیایی معین) بر روی سطح زمین، دستگاه مختصات جغرافیایی (G) به این صورت تعریف می‌شود: بردار 1^G و 2^G منطبق بر افق محلی هستند. بردارهای 1^G ، 2^G و 3^G به ترتیب به سمت شمال، شرق و مرکز زمین هستند.



۵.۳.۲ دستگاه مختصات زمین تخت^۱

قبلاً اشاره شد که روی یک چهارچوب می‌توان بی‌شمار دستگاه مختصات تعریف کرد که البته همه این دستگاه‌ها نسبت به چهارچوب و نسبت به هم ثابت هستند. به‌طور مثال فرض کنید یک پرتابه (P) از نقطه‌ای در سطح زمین پرتاب شود. تنسور سرعت پرتابه از دید ناظر دستگاه زمین (E) و ناظر دستگاه

هادی نوبهاری و حامد محمدکریمی، "سیستم‌های ناوبری اینرسی متصل به بدنه"، دانشگاه صنعتی شریف، هسته پژوهشی هدایت و کنترل، آذر ۱۳۹۱.

زمین تخت (L)، یکسان است؛ زیرا این دو دستگاه نسبت به هم ثابت هستند. ولی، بیان بردار سرعت در این دو دستگاه متفاوت است؛ به بیان ریاضی داریم:

$$\begin{cases} \mathbf{v}_p^E = \mathbf{v}_p^L \\ [\mathbf{v}_p^E]^E \neq [\mathbf{v}_p^L]^L \end{cases} \quad (20.2)$$

۴.۲ دوران جسم و مباحث مرتبط با آن

در این بخش مطالب مرتبط با دوران نسبی دو چهارچوب تشریح می‌شود. در ابتدا خصوصیات ماتریس‌های انتقال بیان شده و سپس چند ماتریس انتقال مهم که غالباً در مباحث ناوبری مورد استفاده هستند، معرفی و نحوه محاسبه آن‌ها بیان می‌شود. سپس تعاریف، خواص و قضایای مرتبط با تنسور دوران ذکر می‌شود. در انتها نیز فرآیند انتشار، دوران‌های کوچک و انواع مختلف عملگرهای خطی‌ساز تشریح می‌شود.

۱.۴.۲ ماتریس انتقال و خصوصیات آن

قبلاً گفته شد که $[T]^{BA}$ ماتریس انتقال از دستگاه مختصات A به دستگاه مختصات B است. فرض کنید که سه بردار راست‌گرد متعامد یکه \mathbf{a}_1 ، \mathbf{a}_2 و \mathbf{a}_3 سازنده دستگاه مختصات A و سه بردار راست‌گرد متعامد یکه \mathbf{b}_1 ، \mathbf{b}_2 و \mathbf{b}_3 سازنده دستگاه مختصات B باشند. ماتریس انتقال $[T]^{BA}$ به صورت زیر تعریف می‌شود:

$$[T]^{BA} = \begin{bmatrix} [\mathbf{a}_1]^B & [\mathbf{a}_2]^B & [\mathbf{a}_3]^B \end{bmatrix} = \begin{bmatrix} [\bar{\mathbf{b}}_1]^A \\ [\bar{\mathbf{b}}_2]^A \\ [\bar{\mathbf{b}}_3]^A \end{bmatrix} \quad (21.2)$$

حال فرض کنید که مولفه‌های ماتریس انتقال به صورت زیر باشد:

$$[T]^{BA} = \begin{bmatrix} t_{11} & t_{12} & t_{13} \\ t_{21} & t_{22} & t_{23} \\ t_{31} & t_{32} & t_{33} \end{bmatrix} \quad (22.2)$$

می‌توان نشان داد که:

$$t_{ik} = \cos \angle(\mathbf{b}_i, \mathbf{a}_k) \quad , \quad \text{where } i, k = 1, 2, 3 \quad (23.2)$$

به عبارت دیگر:

$$T_{ik} = \mathbf{b}_i \cdot \mathbf{a}_k = \bar{\mathbf{b}}_i \mathbf{a}_k, \quad \text{where } i, k = 1, 2, 3 \quad (24.2)$$

ماتریس انتقال بین دو دستگاه مختصات را می‌توان بر اساس روابط فوق محاسبه کرد. لازم به ذکر است که ماتریس انتقال را «ماتریس کسینوس‌های هادی» و «ماتریس تبدیل» نیز نامیده‌اند. ماتریس‌های انتقال خواصی دارند که در ادامه معرفی می‌شود:

۱- ماتریس انتقال متعامد^۱ است. به بیان ریاضی خواهیم داشت:

$$[\bar{T}]^{BA} = ([T]^{BA})^{-1} \quad (25.2)$$

رابطه بیان می‌کند که در حل عددی مسائل شبیه‌سازی، نیازی به محاسبه ماتریس وارون نیست و به همین دلیل رابطه‌ای بسیار مهم و کاربردی است.

۲- دترمینان ماتریس انتقال بین دو دستگاه راست‌گرد +1 است.

$$|[\bar{T}]^{BA}| = +1 \quad (26.2)$$

از رابطه فوق در کاهش خطای عددی محاسبات ماتریس انتقال استفاده می‌شود.

۳- نُرم هر سطر یا ستون از ماتریس انتقال +1 است.

۴- ترانزاده ماتریس انتقال از دستگاه مختصات A به دستگاه مختصات B، برابر با ماتریس انتقال از دستگاه مختصات B به دستگاه مختصات A است:

$$[\bar{T}]^{BA} = [T]^{AB} \quad (27.2)$$

۵- حاصل ضرب چند ماتریس انتقال در یکدیگر، خود یک ماتریس انتقال است:

$$[T]^{AB}[T]^{BC} = [T]^{AC} \quad (28.2)$$

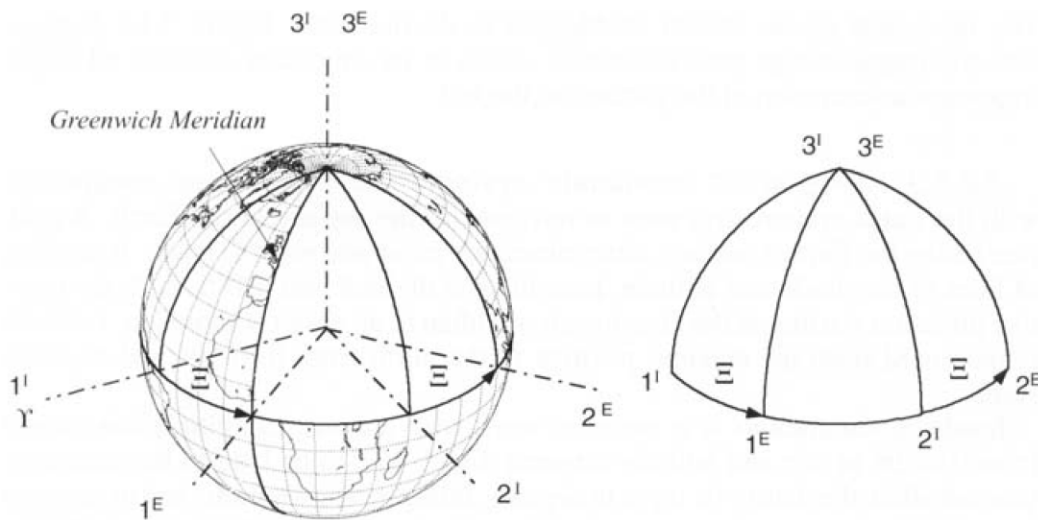
۲.۴.۲ ماتریس‌های انتقال پرکاربرد

در این بخش نحوه محاسبه ماتریس‌های انتقالی که در ناوبری نسبت به دستگاه جغرافیایی مورد استفاده قرار می‌گیرند، تشریح می‌شود. لازم به ذکر است که مطالب بخش ۳.۲، پیش‌نیاز مطالب این بخش است.

¹ Orthogonal

۱.۲.۴.۲ ماتریس انتقال از دستگاه مختصات اینرسی (I) به دستگاه مختصات زمین (E)

مطابق شکل زیر با چرخش به اندازه زاویه Ξ حول محور 3^I ، از دستگاه مختصات اینرسی به دستگاه مختصات زمین منتقل می‌شویم. این مسئله در شکل ۶.۲ تشریح شده‌است.



شکل ۶.۲ ارتباط دستگاه‌های مختصات اینرسی و زمین

به بیان ریاضی می‌توان گفت:

$$]{}^E \xleftarrow{3(\Xi)}]{}^I \rightarrow [T]^{EI} = \begin{bmatrix} \cos \Xi & \sin \Xi & 0 \\ -\sin \Xi & \cos \Xi & 0 \\ 0 & 0 & 1 \end{bmatrix} \quad (29.2)$$

۲.۲.۴.۲ ماتریس انتقال از دستگاه مختصات زمین (E) به دستگاه مختصات جغرافیایی (G)

مطابق شکل ۷.۲ برای انتقال از دستگاه مختصات زمین به دستگاه مختصات جغرافیایی، ابتدا حول محور 3^E به اندازه طول جغرافیایی (ℓ) می‌چرخیم تا به دستگاه مختصات میانی X برسیم:

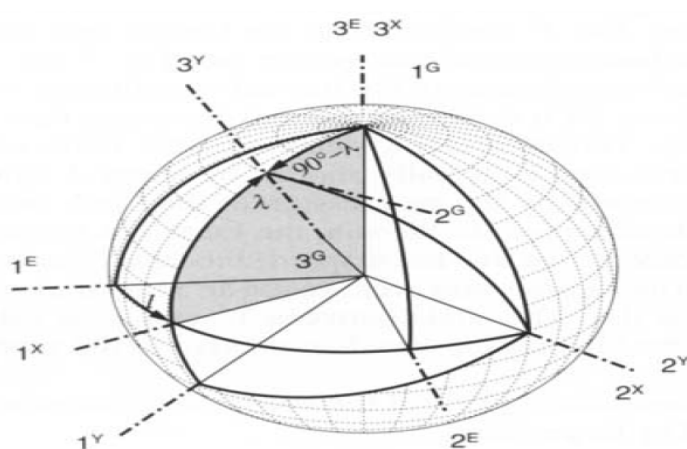
$$]{}^X \xleftarrow{3(\ell)}]{}^E \rightarrow [T]^{XE} = \begin{bmatrix} \cos \ell & \sin \ell & 0 \\ -\sin \ell & \cos \ell & 0 \\ 0 & 0 & 1 \end{bmatrix} \quad (30.2)$$

سپس حول محور 2^X به اندازه متمم عرض جغرافیایی ($90 - \lambda$) می‌چرخیم تا به دستگاه مختصات میانی Y برسیم:

$$]Y \xleftarrow{2(90-\lambda)}]X \rightarrow [T]^{YX} = \begin{bmatrix} \sin \lambda & 0 & -\cos \lambda \\ 0 & 1 & 0 \\ \cos \lambda & 0 & \sin \lambda \end{bmatrix} \quad (31.2)$$

سپس حول محور 2^Y به اندازه 180 درجه می چرخیم تا به دستگاه مختصات G برسیم:

$$]G \xleftarrow{2(180)}]Y \rightarrow [T]^{GY} = \begin{bmatrix} -1 & 0 & 0 \\ 0 & 1 & 0 \\ 0 & 0 & -1 \end{bmatrix} \quad (32.2)$$



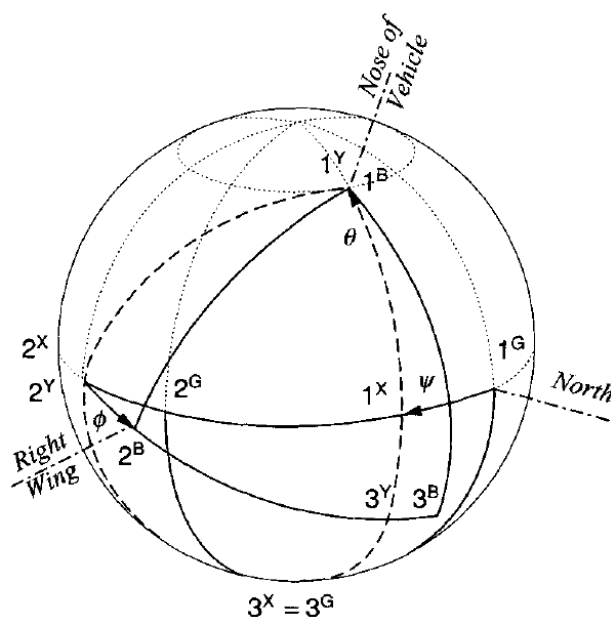
شکل ۷.۲ ارتباط دستگاه‌های مختصات زمین و جغرافیایی

با استفاده از روابط (۳۰.۲)، (۳۱.۲) و (۳۲.۲) می توان نوشت:

$$[T]^{GE} = [T]^{GY} [T]^{YX} [T]^{XE} = \begin{bmatrix} -\sin \lambda \cos \ell & -\sin \lambda \sin \ell & \cos \lambda \\ -\sin \ell & \cos \ell & 0 \\ -\cos \lambda \cos \ell & -\cos \lambda \sin \ell & -\sin \lambda \end{bmatrix} \quad (33.2)$$

۳.۲.۴.۲ ماتریس انتقال از دستگاه مختصات جغرافیایی (G) به دستگاه مختصات بدنی (B)

این ماتریس انتقال توسط زوایای اویلر (ψ ، θ و ϕ) مدل می شود. برای این کار مطابق شکل ۸.۲، ابتدا حول محور 3^G به اندازه زاویه ψ می چرخیم تا به دستگاه مختصات میانی X برسیم. سپس حول محور 2^X به اندازه زاویه θ می چرخیم تا به دستگاه مختصات میانی Y برسیم. در نهایت حول محور 1^Y به اندازه زاویه ϕ می چرخیم تا به دستگاه مختصات B برسیم. لذا ماتریس استاندارد انتقال (ترتیب دوران: X, Y, Z) از دستگاه جغرافیایی به دستگاه بدنی به صورت زیر حاصل می شود:


$$]^\text{B} \xleftarrow{1(\phi)}]^\text{Y} \xleftarrow{2(\theta)}]^\text{X} \xleftarrow{3(\psi)}]^\text{G} \rightarrow$$

$$[T]^\text{BG} = \begin{bmatrix} \cos \psi \cos \theta & \sin \psi \cos \theta & -\sin \theta \\ \cos \psi \sin \theta \sin \phi - \sin \psi \cos \phi & \sin \psi \sin \theta \sin \phi + \cos \psi \cos \phi & \cos \theta \sin \phi \\ \cos \psi \sin \theta \cos \phi + \sin \psi \sin \phi & \sin \psi \sin \theta \cos \phi - \cos \psi \sin \phi & \cos \theta \cos \phi \end{bmatrix} \quad (34.2)$$
$$\begin{cases} \psi = \arctan(T_{12}/T_{11}) \\ \theta = \arcsin(-T_{13}) \\ \phi = \arctan(T_{23}/T_{33}) \end{cases} \quad (\text{A.5})$$
$$\begin{cases} \psi = \arccos\left(\frac{T_{11}}{\cos\theta}\right)\text{sgn}(T_{12}) \\ \theta = \arcsin(-T_{13}) \\ \phi = \arccos\left(\frac{T_{33}}{\cos\theta}\right)\text{sgn}(T_{23}) \end{cases} \quad (36.2)$$

تذکر: اگر ترتیب دوران‌های استاندارد (3 ← 2 ← 1) را عوض کنیم، به ماتریس انتقال دیگری می‌رسیم که رابطه آن با رابطه (۳۴.۲) متفاوت است؛ مگر اینکه از زوایای اوپلر کوچک باشند که در این صورت دیگر ترتیب دوران‌ها مهم نیست.

۴.۲.۴.۲ ماتریس انتقال از دستگاه مختصات زمین تخت (L) به دستگاه مختصات بدنی (B)

همانند رابطه (۳۴.۲) به صورت زیر محاسبه می‌شود:

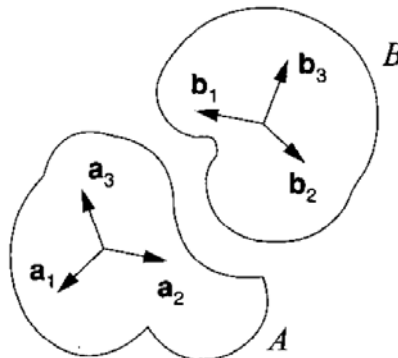
$$]{}^B \xleftarrow{1(\phi)}]{}^Y \xleftarrow{2(\theta)}]{}^X \xleftarrow{3(\psi)}]{}^L \rightarrow$$

$$[T]^{BL} = \begin{bmatrix} \cos \psi \cos \theta & \sin \psi \cos \theta & -\sin \theta \\ \cos \psi \sin \theta \sin \phi - \sin \psi \cos \phi & \sin \psi \sin \theta \sin \phi + \cos \psi \cos \phi & \cos \theta \sin \phi \\ \cos \psi \sin \theta \cos \phi + \sin \psi \sin \phi & \sin \psi \sin \theta \cos \phi - \cos \psi \sin \phi & \cos \theta \cos \phi \end{bmatrix} \quad (37.2)$$

۳.۴.۲ تنسور دوران

وضعیت چهارچوب B نسبت به چهارچوب A، توسط تنسور دوران R^{BA} مشخص می‌شود. فرض کنید که سه بردار راست‌گرد متعامد یکه a_1, a_2 و a_3 سازنده چهارچوب A و سه بردار راست‌گرد متعامد یکه b_1, b_2 و b_3 سازنده چهارچوب B باشند (شکل ۹.۲). تنسور دوران R^{BA} ، a_i ها را بر روی b_i تصویر می‌کند.

$$b_i = R^{BA} a_i \quad i = 1, 2, 3 \quad (38.2)$$



شکل ۹.۲ چهارچوب‌های A و B و بردارهای یکه آن‌ها

خواص تنسور دوران به شرح زیر است:

۱- تنسور دوران، یک تنسور مرتبه دوم کارتزین است. به بیان ریاضی داریم:

$$[R^{BA}]^C = [T]^{CD} [R^{BA}]^D [\bar{T}]^{CD} \quad (39.2)$$

۲- حاصل ضرب چند تنسور دوران در یکدیگر، خود یک تنسور دوران است:

$$\mathbf{R}^{CA} = \mathbf{R}^{CB} \mathbf{R}^{BA} \quad (40.2)$$

۳- بیان تنسور دوران \mathbf{R}^{BA} در دستگاه‌های مختصات A و B یکسان است:

$$[\mathbf{R}^{BA}]^A = [\mathbf{R}^{BA}]^B \quad (41.2)$$

۴- تنسور دوران ترانهاده ماتریس تبدیل است:

$$[\mathbf{R}^{BA}]^A = [\bar{\mathbf{T}}]^{BA} \quad (42.2)$$

۵- ترانهاده \mathbf{R}^{AB} ، \mathbf{R}^{BA} است:

$$\bar{\mathbf{R}}^{BA} = \mathbf{R}^{AB} \quad (43.2)$$

۶- تنسور دوران متعامد است:

$$(\mathbf{R}^{BA})^T = (\mathbf{R}^{BA})^{-1} \quad (44.2)$$

۴.۴.۲ مشتق دورانی^۱

مشتق معمولی با d/dt نمایش داده می‌شود. مشتق معمولی یک عملگر در دنیای اعداد است. متناظر این عملگر در دنیای مدل‌ها عملگر مشتق دورانی است که با D نمایش داده می‌شود. به‌عنوان مثال $D^A \mathbf{x}$ به‌معنی مشتق دورانی بردار \mathbf{x} نسبت به ناظر چهارچوب A است.

قوانین زیر بر مشتق دورانی حاکم است:

$$D^A(k\mathbf{x}) = kD^A\mathbf{x} \quad (45.2)$$

$$D^A(\mathbf{x} + \mathbf{y}) = D^A\mathbf{x} + D^A\mathbf{y} \quad (46.2)$$

$$D^A(\mathbf{Y}\mathbf{x}) = (D^A\mathbf{Y})\mathbf{x} + \mathbf{Y}(D^A\mathbf{x}) \quad (47.2)$$

$$\begin{cases} [D^A\mathbf{x}]^A = \frac{d}{dt}[\mathbf{x}]^A \\ [D^A\mathbf{X}]^A = \frac{d}{dt}[\mathbf{X}]^A \end{cases} \quad (48.2)$$

¹ Rotational Time Derivative

$$\begin{cases} [D^A \mathbf{x}]^C = [T]^{CB} [D^A \mathbf{x}]^B \\ [D^A \mathbf{X}]^C = [T]^{CB} [D^A \mathbf{X}]^B [\bar{T}]^{CB} \end{cases} \quad (۴۹.۲)$$

۵.۴.۲ سرعت زاویه‌ای

در این قسمت با توجه به ابزار ریاضی معرفی شده، تعریف سرعت زاویه‌ای نسبی دو چهارچوب ارائه می‌شود. می‌توان نشان داد که تنسور سرعت زاویه‌ای از رابطه زیر بدست می‌آید:

$$\Omega^{BA} = (D^A \mathbf{R}^{BA}) \bar{\mathbf{R}}^{BA} \quad (۵۰.۲)$$

تنسور سرعت زاویه‌ای دارای خواص زیر است:

$$\Omega^{CA} = \Omega^{CB} + \Omega^{BA} \leftrightarrow \omega^{CA} = \omega^{CB} + \omega^{BA} \quad (۵۱.۲)$$

$$\Omega^{BA} = -\Omega^{AB} = \bar{\Omega}^{BA} \leftrightarrow \omega^{BA} = -\omega^{AB} \quad (۵۲.۲)$$

$$D^A \omega^{BA} = D^B \omega^{BA} \quad (۵۳.۲)$$

$$[\Omega^{BA}]^A = \left[\frac{d\bar{T}}{dt} \right]^{BA} [T]^{BA}, \quad [\Omega^{BA}]^B = [T]^{BA} \left[\frac{d\bar{T}}{dt} \right]^{BA} \quad (۵۴.۲)$$

۶.۴.۲ قانون انتقال اویلر

مشتق دورانی برای تنسورهای مرتبه اول، به صورت زیر بین چهارچوب‌های مختلف انتقال می‌یابد:

$$D^A \mathbf{x} = D^B \mathbf{x} + \omega^{BA} \times \mathbf{x} = D^B \mathbf{x} + \Omega^{BA} \mathbf{x} \quad (۵۵.۲)$$

در رابطه فوق ω^{BA} سرعت زاویه‌ای چهارچوب B نسبت به چهارچوب A و Ω^{BA} تنسور شبه‌متقارن تنسور ω^{BA} است. به عنوان مثال، اگر بردار موقعیت نقطه B (نقطه مرجع چهارچوب بدنی) نسبت به نقطه I (نقطه مرجع چهارچوب اینرسی) با \mathbf{s}_{BI} نشان داده شود، رابطه سرعت زمینی ($D^E \mathbf{s}_{BI}$) و سرعت اینرسی ($D^I \mathbf{s}_{BI}$) به صورت زیر است:

$$D^I \mathbf{s}_{BI} = D^E \mathbf{s}_{BI} + \Omega^{EI} \mathbf{s}_{BI} \quad (۵۶.۲)$$

همچنین مشتق دورانی برای تنسورهای مرتبه دوم، به صورت زیر بین چهارچوب‌های مختلف منتقل می‌شود:

$$D^A \mathbf{X} = D^B \mathbf{X} + \Omega^{BA} \mathbf{X} + \mathbf{X} \bar{\Omega}^{BA} \quad (۵۷.۲)$$

۷.۴.۲ روش‌های محاسبه وضعیت

فرض کنید $[\omega^{BI}]^B$ از حل معادله اوایلر و یا به‌وسیله حسگرهای اینرسی حاصل شده‌است. با داشتن این بردار، وضعیت جسم نسبت به چارچوب مرجع (I) چگونه مشخص می‌شود؟ حل این مسئله را «انتشار»^۱ نامیده‌اند:

$$[\omega^{BI}]^B = \begin{bmatrix} p \\ q \\ r \end{bmatrix} \rightarrow \begin{bmatrix} \psi \\ \theta \\ \phi \end{bmatrix} = ? \quad (58.2)$$

روش‌های مختلفی برای حل این مسئله ابداع شده‌است که در ادامه برخی از آن‌ها معرفی می‌شوند:

- ۱- زوایای اوایلر
- ۲- کسینوس‌های هادی
- ۳- کوآترنیون‌ها

۱.۷.۴.۲ زوایای اوایلر

در این روش برای محاسبه زوایای اوایلر از معادلات زیر استفاده می‌شود:

$$\begin{aligned} \dot{\phi} &= p + q \sin \phi \tan \theta + r \cos \phi \tan \theta \\ \dot{\theta} &= q \cos \phi - r \sin \phi \\ \dot{\psi} &= q \sin \phi \sec \theta + r \cos \phi \sec \theta \end{aligned} \quad (59.2)$$

با دانستن شرایط اولیه $[\psi_0 \quad \theta_0 \quad \phi_0]$ ، معادلات دیفرانسیلی فوق حل می‌شوند و زوایای اوایلر در هر لحظه محاسبه می‌شود.

مزایا:

- زوایای اوایلر مستقیماً محاسبه می‌شوند.

معایب:

- تکنیکی فرایند انتشار در $\theta = \pm \pi/2$ (نامناسب برای عمودپرتاب‌ها)؛
- ماتریس انتقال مستقیماً محاسبه نمی‌شود.

¹ Propagation

۲.۷.۴.۲ کسینوس‌های هادی

در این روش برای محاسبه زوایای اوپلر، ابتدا معادلات دیفرانسیلی زیر با داشتن شرایط اولیه $[T]^{BI}|_{t=0}$ حل می‌شود تا $[T]^{BI}$ در هر لحظه حاصل شود:

$$\left[\frac{dT}{dt}\right]^{BI} = -[\Omega^{BI}]^B [T]^{BI} \longrightarrow [T]^{BI} \quad (۶۰.۲)$$

سپس در هر لحظه زوایای اوپلر از روی ماتریس انتقال به‌صورت زیر محاسبه می‌شوند:

$$\begin{aligned} \theta &= \arcsin(-t_{13}) \\ \phi &= \arccos(t_{33} / \cos \theta) \text{sign}(t_{23}) \\ \psi &= \arccos(t_{11} / \cos \theta) \text{sign}(t_{12}) \end{aligned} \quad (۶۱.۲)$$

مزایا:

- عدم وجود تکینگی در فرایند انتشار؛
- ماتریس انتقال مستقیماً محاسبه می‌شود.

معایب:

- حجم محاسبات؛
- زوایای اوپلر مستقیماً محاسبه نمی‌شوند.
- وجود تکینگی در محاسبه زوایای رول و یاو در $\theta = \pm \pi/2$

۳.۷.۴.۲ کوآترنیون‌ها

بردار چهارتایی کوآترنیون‌ها را به‌صورت زیر در نظر بگیرید:

$$\mathbf{q} = \begin{Bmatrix} q_0 \\ q_1 \\ q_2 \\ q_3 \end{Bmatrix} \quad (۶۲.۲)$$

نشان داده می‌شود که ارتباط بردار کوآترنیون‌ها با $[\omega^{BI}]^B$ به‌صورت زیر است:

$$\begin{Bmatrix} \dot{q}_0 \\ \dot{q}_1 \\ \dot{q}_2 \\ \dot{q}_3 \end{Bmatrix} = \frac{1}{2} \begin{bmatrix} 0 & -p & -q & -r \\ p & 0 & r & -q \\ q & -r & 0 & p \\ r & q & -p & 0 \end{bmatrix} \begin{Bmatrix} q_0 \\ q_1 \\ q_2 \\ q_3 \end{Bmatrix} \quad (۶۳.۲)$$

برای حل معادلات دیفرانسیلی فوق، شرایط اولیه بردار کواترنیون‌ها مورد نیاز است که به صورت زیر تولید می‌شود:

$$\begin{aligned} q_0|_{t=0} &= \cos(\psi_0/2) \cos(\theta_0/2) \cos(\phi_0/2) + \sin(\psi_0/2) \sin(\theta_0/2) \sin(\phi_0/2) \\ q_1|_{t=0} &= \cos(\psi_0/2) \cos(\theta_0/2) \sin(\phi_0/2) - \sin(\psi_0/2) \sin(\theta_0/2) \cos(\phi_0/2) \\ q_2|_{t=0} &= \cos(\psi_0/2) \sin(\theta_0/2) \cos(\phi_0/2) + \sin(\psi_0/2) \cos(\theta_0/2) \sin(\phi_0/2) \\ q_3|_{t=0} &= \sin(\psi_0/2) \cos(\theta_0/2) \cos(\phi_0/2) - \cos(\psi_0/2) \sin(\theta_0/2) \sin(\phi_0/2) \end{aligned} \quad (۶۴.۲)$$

بعد از محاسبه بردار کواترنیون‌ها طبق رابطه (۶۳.۲)، ماتریس انتقال و زوایای اوایلر طبق روابط زیر محاسبه می‌شوند:

$$[T]^{BI} = \begin{bmatrix} q_0^2 + q_1^2 - q_2^2 - q_3^2 & 2(q_1q_2 + q_0q_3) & 2(q_1q_3 - q_0q_2) \\ 2(q_1q_2 - q_0q_3) & q_0^2 - q_1^2 + q_2^2 - q_3^2 & 2(q_2q_3 + q_0q_1) \\ 2(q_1q_3 + q_0q_2) & 2(q_2q_3 - q_0q_1) & q_0^2 - q_1^2 - q_2^2 + q_3^2 \end{bmatrix} \quad (۶۵.۲)$$

$$\begin{cases} \psi = \arctan\left(\frac{2(q_1q_2 + q_0q_3)}{q_0^2 + q_1^2 - q_2^2 - q_3^2}\right) \\ \theta = \arcsin(-2(q_1q_3 - q_0q_2)) \\ \phi = \arctan\left(\frac{2(q_2q_3 + q_0q_1)}{q_0^2 - q_1^2 - q_2^2 + q_3^2}\right) \end{cases} \quad (۶۶.۲)$$

مزایا:

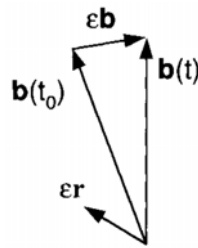
- عدم وجود تکینگی در فرایند انتشار؛
- حجم محاسبات کم؛

معایب:

- ماتریس انتقال مستقیماً محاسبه نمی‌شود.
- زوایای اوایلر مستقیماً محاسبه نمی‌شوند.
- وجود تکینگی در محاسبه زوایای رول و یاو در $\theta = \pm \pi/2$

۸.۴.۲ دوران‌های کوچک

مطابق قضیه اوایلر، تبدیل از یک دستگاه مختصات به دستگاه مختصات دیگر، با سه دوران متوالی میسر می‌شود. اما این دوران‌ها از قاعده جابجایی تبعیت نمی‌کنند؛ مگر اینکه اندازه هر سه دوران کوچک باشد؛ در این صورت دیگر ترتیب دوران‌ها مهم نیست.



شکل ۱۰.۲ دوران کوچک

مطابق شکل ۱۰.۲ فرض کنید که بردار $\mathbf{b}(t)$ بر اثر دوران \mathbf{R} ، از مقدار اولیه $\mathbf{b}(t_0)$ ، حاصل می‌شود:

$$\mathbf{b}(t) = \mathbf{R}\mathbf{b}(t_0) \quad (۶۷.۲)$$

اغتشاش بردار \mathbf{b} به صورت زیر تعریف و محاسبه می‌شود:

$$\epsilon \mathbf{b} = \mathbf{b}(t) - \mathbf{b}(t_0) = \mathbf{R}\mathbf{b}(t_0) - \mathbf{b}(t_0) = (\mathbf{R} - \mathbf{E})\mathbf{b}(t_0) \quad (۶۸.۲)$$

حال اغتشاش تنسور دوران ($\epsilon \mathbf{R}$) را به صورت زیر تعریف می‌کنیم:

$$\epsilon \mathbf{R} = \mathbf{R} - \mathbf{E} \quad (۶۹.۲)$$

با جایگذاری رابطه (۶۹.۲) در رابطه (۶۸.۲) خواهیم داشت:

$$\epsilon \mathbf{b} = \epsilon \mathbf{R}\mathbf{b}(t_0) \quad (۷۰.۲)$$

از آنجا که تنسور دوران یک تنسور متعامد است، خواهیم داشت:

$$\mathbf{R}\bar{\mathbf{R}} = \mathbf{E} \rightarrow \mathbf{E} = (\mathbf{E} + \epsilon \mathbf{R})(\bar{\mathbf{E}} + \epsilon \bar{\mathbf{R}}) = \mathbf{E} + \epsilon \mathbf{R} + \epsilon \bar{\mathbf{R}} + \epsilon \mathbf{R}\epsilon \bar{\mathbf{R}} \quad (۷۱.۲)$$

اگر در رابطه (۷۱.۲) از ترم مرتبه دوم صرف نظر کنیم، خواهیم داشت:

$$\epsilon \mathbf{R} + \epsilon \bar{\mathbf{R}} = 0 \rightarrow \epsilon \bar{\mathbf{R}} = -\epsilon \mathbf{R} \quad (۷۲.۲)$$

مطابق رابطه (۷۲.۲)، اغتشاش تنسور دوران نیز یک تنسور شبه متقارن است؛ لذا می‌توان آن را با یک بردار فیزیکی (تنسور مرتبه اول) مدل کرد. فرض کنید که بیان این بردار در دستگاه مختصات دلخواه A به صورت زیر باشد:

$$[\epsilon \mathbf{r}]^A = [\epsilon r_1 \quad \epsilon r_2 \quad \epsilon r_3]^T \quad (۷۳.۲)$$

مطابق رابطه (۶۹.۲) خواهیم داشت:

$$[\mathbf{R}]^A = [\mathbf{E}]^A + [\varepsilon \mathbf{R}]^A = \begin{bmatrix} 1 & -\varepsilon r_3 & \varepsilon r_2 \\ \varepsilon r_3 & 1 & -\varepsilon r_1 \\ -\varepsilon r_2 & \varepsilon r_1 & 1 \end{bmatrix} \quad (۷۴.۲)$$

۹.۴.۲ عملگرهای خطی ساز

با استخراج معادلات ناوبری، مشاهده می‌شود که این معادلات غیرخطی هستند. در صورتیکه بخواهیم از فیلترهای خطی برای تخمین استفاده کنیم، لازم است که صورت خطی معادلات ناوبری استخراج گردد. این کار با استفاده از عملگرهای خطی ساز انجام می‌شود که در این قسمت تشریح می‌شوند.

۱.۹.۴.۲ عملگر اغتشاش δ

اغتشاش یک تنسور مرتبه اول با عملگر δ به صورت زیر تعریف می‌شود:

$$\delta \mathbf{x} = \mathbf{x}_p - \mathbf{x}_r \quad (۷۵.۲)$$

در رابطه (۷۵.۲) زیرنویس r معرف شرایط مرجع و زیرنویس p معرف شرایط اغتشاش است. با بیان این رابطه در دستگاه اغتشاشی خواهیم داشت:

$$[\delta \mathbf{x}]^{D_p} = [\mathbf{x}_p]^{D_p} - [\mathbf{x}_r]^{D_p} \quad (۷۶.۲)$$

اغتشاش یک تنسور مرتبه دوم با عملگر δ نیز به صورت زیر تعریف می‌شود:

$$\varepsilon \mathbf{X} = \mathbf{X}_p - \mathbf{X}_r \quad (۷۷.۲)$$

با بیان این رابطه (۷۷.۲) در دستگاه اغتشاشی خواهیم داشت:

$$[\varepsilon \mathbf{X}]^{D_p} = [\mathbf{X}_p]^{D_p} - [\mathbf{X}_r]^{D_p} \quad (۷۸.۲)$$

۲.۹.۴.۲ عملگر اغتشاش ε

اغتشاش یک تنسور مرتبه اول با عملگر ε به صورت زیر تعریف می‌شود:

$$\varepsilon \mathbf{x} = \mathbf{x}_p - \mathbf{R}^{D_p D_r} \mathbf{x}_r \quad (۷۹.۲)$$

که زیرنویس r معرف شرایط مرجع و زیرنویس p معرف شرایط اغتشاش است. تنسور $\mathbf{R}^{D_p D_r}$ ، تنسور دوران چهارچوب اغتشاشی (D_p) نسبت به چهارچوب مرجع (D_r) است. نماد ε نیز نشانه عملگر اغتشاش است. با بیان این رابطه در دستگاه اغتشاشی خواهیم داشت:

$$[\varepsilon \mathbf{X}]^{D_p} = [\mathbf{X}_p]^{D_p} - [\mathbf{R}^{D_p D_r}]^{D_p} [\mathbf{T}]^{D_p D_r} [\mathbf{X}_r]^{D_r} = [\mathbf{X}_p]^{D_p} - [\mathbf{X}_r]^{D_r} \quad (۸۰.۲)$$

اغتشاش یک تنسور مرتبه دوم نیز با استفاده از عملگر ε به صورت زیر تعریف می شود:

$$\varepsilon \mathbf{X} = \mathbf{X}_p - \mathbf{R}^{D_p D_r} \mathbf{X}_r \bar{\mathbf{R}}^{D_p D_r} \quad (۸۱.۲)$$

با بیان رابطه (۸۱.۲) در دستگاه اغتشاشی خواهیم داشت:

$$[\varepsilon \mathbf{X}]^{D_p} = [\mathbf{X}_p]^{D_p} - [\mathbf{R}^{D_p D_r}]^{D_p} [\mathbf{T}]^{D_p D_r} [\mathbf{X}_r]^{D_r} [\bar{\mathbf{T}}]^{D_p D_r} [\bar{\mathbf{R}}^{D_p D_r}]^{D_p} = [\mathbf{X}_p]^{D_p} - [\mathbf{X}_r]^{D_r} \quad (۸۲.۲)$$

با استفاده از هر دو عملگر δ و ε می توان معادلات اغتشاشی را به صورت تنسوری استخراج کرد. اما، مزیت عملگر ε در این است که در صورت استفاده از آن تنسورهای مرجع در دستگاه مرجع و تنسورهای اغتشاشی در دستگاه اغتشاشی بیان می شوند (رابطه (۸۰.۲) و (۸۲.۲)). بنابراین استفاده از عملگر ε با واقعیت تطابق بیشتری دارد. لازم به ذکر است که برای تنسورهای مرتبه صفر (اسکالر)، عملگر δ و ε یکسان هستند.

۳ معادلات ناوبری در سیستم‌های متصل به بدنه

در این فصل روابط مورد نیاز برای برپاسازی یک سیستم ناوبری اینرسی متصل به بدنه با فرضیات زیر ارائه می‌شود:

- وجود حسگرهای اینرسی (سه شتاب‌سنج و سه جایرو نرخی) ایده‌آل
- عدم وجود خطا در شرایط اولیه
- داشتن مدل دقیق از گرانش زمین

طبیعی است که شرایط فوق هیچ‌گاه محقق نمی‌شود. لذا در فصول آتی روش‌هایی برای افزایش دقت محاسبات ناوبری در شرایط غیرایده‌آل مطرح می‌شود.

در این فصل، ابتدا مدل‌سازی حرکت انتقالی در حد مورد نیاز برای ناوبری اینرسی مطرح می‌شود. سپس معادلات ناوبری در دستگاه جغرافیایی بدست می‌آیند.

۱.۳ مدل‌سازی حرکت انتقالی

در این بخش نحوه ارتباط شتاب اینرسی جسم و برآیند نیروهای وارد بر آن بیان می‌شود.

۱.۱.۳ سرعت و شتاب

با توجه به مفاهیم ارائه‌شده، تعاریف زیر در مورد سرعت خطی و شتاب خطی ارائه می‌شود:

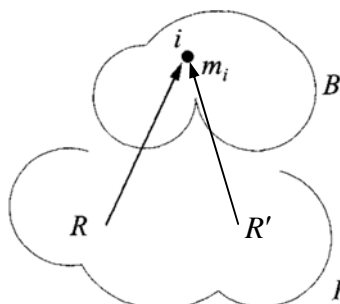
$$\mathbf{v}_B^A = D^A \mathbf{s}_{BA} \quad (۱.۳)$$

$$\mathbf{a}_B^A = D^A \mathbf{v}_B^A = D^A D^A \mathbf{s}_{BA} \quad (۲.۳)$$

که در اینجا نقطه A نقطه مرجع چهارچوب A است و B یک نقطه است که سرعت و شتاب آن نسبت به چهارچوب A تعریف شده‌است.

۲.۱.۳ مومنتوم خطی

مومنتوم خطی ذره i نسبت به چهارچوب R ، به صورت زیر تعریف می شود:



شکل ۱.۳ مومنتوم خطی یک ذره

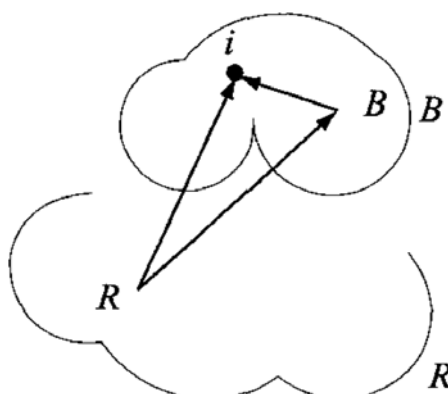
$$\mathbf{p}_i^R = m_i \mathbf{v}_i^R = m_i D^R \mathbf{s}_{iR} \quad (۳.۳)$$

که \mathbf{v}_i^R تنسور سرعت خطی ذره i نسبت به چهارچوب R و m_i جرم این ذره است. اگر در شکل ۱.۳ به جای نقطه R نقطه R' از چهارچوب R انتخاب شود، خواهیم داشت:

$$D^R \mathbf{s}_{iR} = D^R (\mathbf{s}_{iR'} + \mathbf{s}_{R'R}) = D^R \mathbf{s}_{iR'} + D^R \mathbf{s}_{R'R} = D^R \mathbf{s}_{iR'} + 0 = D^R \mathbf{s}_{iR'} \quad (۴.۳)$$

لذا بردار مومنتوم خطی مستقل از نقطه ای است که روی چهارچوب تعریف می شود و فقط بستگی به خود چهارچوب دارد.

با تعمیم مفهوم مومنتوم خطی یک ذره، به یک مجموعه از ذرات (شکل ۲.۳) و با فرض اینکه نقطه B مرکز جرم جسم B باشد، خواهیم داشت:



شکل ۲.۳ مومنتوم خطی جسم B

$$\begin{aligned}\sum_i \mathbf{p}_i^R &= \sum_i m_i D^R \mathbf{s}_{iR} = \sum_i m_i D^R (\mathbf{s}_{iB} + \mathbf{s}_{BR}) = \sum_i m_i D^R \mathbf{s}_{iB} + \sum_i m_i D^R \mathbf{s}_{BR} \\ &= D^R \sum_i m_i \mathbf{s}_{iB} + D^R \mathbf{s}_{BR} \sum_i m_i = 0 + m^B \mathbf{v}_B^R = \mathbf{p}_B^R\end{aligned}\quad (5.3)$$

بنابراین، اندازه حرکت خطی جسم B نسبت به چهارچوب R برابر با حاصلضرب جرم جسم در سرعت مرکز جرم آن نسبت به چهارچوب R است. توجه کنید که در استخراج رابطه فوق نیازی به فرض صلبیت جسم B ($D^B \mathbf{s}_{iB} = 0$) نیست.

۳.۱.۳ قوانین نیوتن

در سال ۱۶۸۷ نیوتن قوانین خود را به شرح زیر ارائه کرد:

۱- یک جسم در سکون می‌ماند و یا به حرکت مستقیم‌الخط خود ادامه می‌دهد، مگر اینکه تحت اثر نیرویی قرار گیرد.

۲- نرخ تغییر مومنتوم خطی یک جسم برابر با اندازه نیروی وارد شده بر آن و در جهت نیروی اعمالی است.

۳- در برابر هر عملی، عکس‌العملی وجود دارد که مخالف آن است.

۱.۳.۱.۳ قانون دوم نیوتن برای یک جرم نقطه‌ای

بیان ریاضی قانون دوم نیوتن به صورت زیر است:

$$D^I \mathbf{p}_i^I = \mathbf{f}_i \quad (6.3)$$

از طرفی داریم:

$$D^I \mathbf{p}_i^I = D^I (m_i D^I \mathbf{s}_{iI}) = (D^I m_i) D^I \mathbf{s}_{iI} + m_i D^I D^I \mathbf{s}_{iI} = 0 + m_i \mathbf{a}_i^I = m_i \mathbf{a}_i^I \quad (7.3)$$

بنابراین، با توجه به رابطه (۷.۳)، رابطه (۶.۳) به صورت زیر ساده می‌شود:

$$m_i \mathbf{a}_i^I = \mathbf{f}_i \quad (8.3)$$

۲.۳.۱.۳ قانون دوم نیوتن برای یک جسم

مطابق شکل ۲.۳، با انتگرال‌گیری از طرفین رابطه (۸.۳)، بیان قانون دوم نیوتن برای یک مجموعه جرم به صورت زیر حاصل می‌شود:

$$\sum_i m_i \mathbf{a}_i^I = \sum_i \mathbf{f}_i = \sum_i \mathbf{f}_{in_i} + \sum_i \mathbf{f}_{ex_i} = 0 + \sum_i \mathbf{f}_{ex_i} = \sum_i \mathbf{f}_{ex_i} = \mathbf{f}_{ex} \quad (9.3)$$

با توجه به اینکه نقطه B مرکز جرم جسم B است، $\sum_i m_i \mathbf{s}_{iB} = 0$ و در نتیجه $\sum_i m_i D^I D^I \mathbf{s}_{iB} = 0$ خواهد بود. پس سمت چپ رابطه (۹.۳) به صورت زیر ساده می‌شود:

$$\begin{aligned} \sum_i m_i \mathbf{a}_i^I &= \sum_i m_i D^I D^I \mathbf{s}_{iI} = \sum_i m_i D^I D^I (\mathbf{s}_{iB} + \mathbf{s}_{BI}) \\ \sum_i m_i D^I D^I \mathbf{s}_{iB} + \sum_i m_i D^I D^I \mathbf{s}_{BI} &= 0 + D^I D^I \mathbf{s}_{BI} \sum_i m_i = m^B \mathbf{a}_B^I \end{aligned} \quad (10.3)$$

با استفاده از رابطه (۱۰.۳)، رابطه (۹.۳) به صورت زیر ساده می‌شود:

$$m^B \mathbf{a}_B^I = \mathbf{f}_{ex} \quad (11.3)$$

تذکر: در استخراج رابطه (۱۱.۳) نیازی به فرض صلبیت جسم B نیست. به عبارت دیگر، این رابطه برای اجسام غیرصلب نیز برقرار است.

۲.۳ ناوبری نسبت به دستگاه جغرافیایی

در این بخش به استخراج معادلات موقعیت، سرعت و وضعیت جسم نسبت به دستگاه NED، که دستگاه مختصات جغرافیایی و نیز دستگاه ناوبری نامیده می‌شود، می‌پردازیم.

۱.۲.۳ معادله موقعیت

فرض کنید که $[\mathbf{v}_B^E]^N$ را با $[\nu_n \quad \nu_e \quad \nu_d]^T$ نمایش دهیم. مطابق پیوست الف داریم:

$$\begin{aligned} \dot{\ell} &= \frac{\nu_e}{(R_{normal} + h) \cos \lambda} \\ \dot{\lambda} &= \frac{\nu_n}{R_{meridian} + h} \\ \dot{h} &= -\nu_d \end{aligned} \quad (12.3)$$

در رابطه (۱۲.۳)، ℓ ، λ ، h ، R_{normal} و $R_{meridian}$ به ترتیب طول جغرافیایی، عرض جغرافیایی، ارتفاع جسم از سطح زمین، شعاع انحنای زمین در صفحه نصف‌النهار محلی و شعاع انحنای تقاطع صفحه عمود بر نصف‌النهار محلی با سطح زمین است.

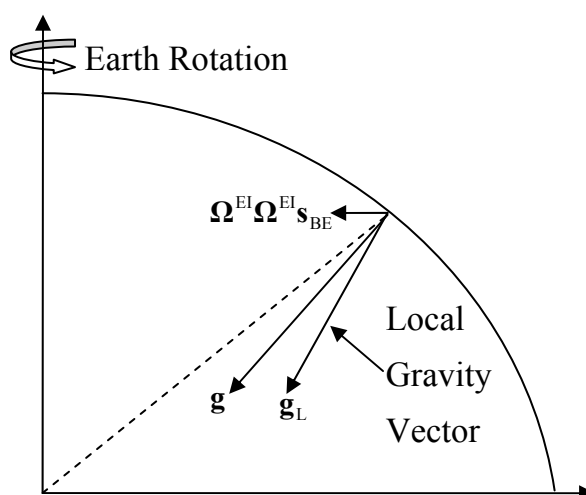
۲.۲.۳ معادله سرعت

مطابق قانون دوم نیوتن داریم:

$$D^I D^I \mathbf{s}_{BI} = \mathbf{f} + \mathbf{g} \quad (۱۳.۳)$$

در رابطه (۱۳.۳) منظور از \mathbf{f} ، شتاب یا نیروی مخصوص غیرجاذبی و منظور از \mathbf{g} ، شتاب جاذبی ناشی از گرانش زمین است. اگر برای اندازه‌گیری امتداد بردار گرانش زمین از شاقول استفاده شود، امتدادی که بدست می‌آید با امتداد \mathbf{g} متفاوت است. دلیل این تفاوت دوران زمین است. به شکل ۳.۳ توجه کنید. در این شکل بردار گرانش محلی قابل اندازه‌گیری توسط شاقول با \mathbf{g}_L نمایش داده شده‌است. بین \mathbf{g} و \mathbf{g}_L رابطه زیر برقرار است:

$$\mathbf{g} = \mathbf{g}_L + \boldsymbol{\Omega}^{EI} \boldsymbol{\Omega}^{EI} \mathbf{s}_{BE} \quad (۱۴.۳)$$



شکل ۳.۳ اختلاف بین امتداد بردار گرانش زمین (\mathbf{g}) با امتداد گرانش محلی قابل اندازه‌گیری توسط شاقول (\mathbf{g}_L)

حال سمت چپ رابطه (۱۳.۳) به صورت زیر بسط داده می‌شود:

$$\begin{aligned} D^I D^I \mathbf{s}_{BI} &= D^I D^I \mathbf{s}_{BE} = D^E D^E \mathbf{s}_{BE} + 2\boldsymbol{\Omega}^{EI} D^E \mathbf{s}_{BE} + \boldsymbol{\Omega}^{EI} \boldsymbol{\Omega}^{EI} \mathbf{s}_{BE} + (D^E \boldsymbol{\Omega}^{EI}) \mathbf{s}_{BE} \\ &= D^E \mathbf{v}_B^E + 2\boldsymbol{\Omega}^{EI} \mathbf{v}_B^E + \boldsymbol{\Omega}^{EI} \boldsymbol{\Omega}^{EI} \mathbf{s}_{BE} \end{aligned} \quad (۱۵.۳)$$

با جایگذاری روابط (۱۴.۳) و (۱۵.۳) در رابطه (۱۳.۳) خواهیم داشت:

$$D^E \mathbf{v}_B^E + 2\boldsymbol{\Omega}^{EI} \mathbf{v}_B^E = \mathbf{f} + \mathbf{g}_L \quad (۱۶.۳)$$

با استفاده از قانون اوایلر رابطه (۱۶.۳) به صورت زیر بازنویسی می‌شود:

$$D^N \mathbf{v}_B^E + \boldsymbol{\Omega}^{NE} \mathbf{v}_B^E + 2\boldsymbol{\Omega}^{EI} \mathbf{v}_B^E = \mathbf{f} + \mathbf{g}_L \quad (۱۷.۳)$$

رابطه (۱۷.۳) نیز به صورت زیر بازنویسی می‌شود:

$$D^N \mathbf{v}_B^E = \mathbf{f} + \mathbf{g}_L - (2\boldsymbol{\Omega}^{EI} + \boldsymbol{\Omega}^{NE}) \mathbf{v}_B^E \quad (۱۸.۳)$$

با بیان روابط فوق در دستگاه جغرافیایی خواهیم داشت:

$$[D^N \mathbf{v}_B^E]^N = [\mathbf{f}]^N + [\mathbf{g}_L]^N - (2[\boldsymbol{\Omega}^{EI}]^N + [\boldsymbol{\Omega}^{NE}]^N) [\mathbf{v}_B^E]^N \quad (۱۹.۳)$$

در نهایت معادله دیفرانسیل سرعت به صورت زیر حاصل می‌شود:

$$\frac{d}{dt} [\mathbf{v}_B^E]^N = [\mathbf{T}]^{NB} [\mathbf{f}]^B + [\mathbf{g}_L]^N - (2[\mathbf{T}]^{NE} [\boldsymbol{\Omega}^{EI}]^E [\mathbf{T}]^{NE} + [\boldsymbol{\Omega}^{NE}]^N) [\mathbf{v}_B^E]^N \quad (۲۰.۳)$$

تمام بردارهای سمت راست رابطه (۲۰.۳) مشخص هستند، مگر $[\boldsymbol{\Omega}^{EI}]^E$ و $[\boldsymbol{\Omega}^{NE}]^N$ که در ادامه نحوه محاسبه آن‌ها تشریح می‌شود. مطابق رابطه (۲۹.۲) داریم:

$$]^E \xleftarrow{3(\Xi)}]^I \rightarrow \boldsymbol{\omega}^{EI} = \dot{\Xi} 3^E \rightarrow [\boldsymbol{\omega}^{EI}]^E = \dot{\Xi} [3^E]^E \quad (۲۱.۳)$$

اگر $\dot{\Xi}$ را برابر با مقدار ثابت ω^{EI} فرض کنیم، رابطه فوق به صورت زیر بازنویسی می‌شود.

$$[\boldsymbol{\omega}^{EI}]^E = \begin{bmatrix} 0 \\ 0 \\ \omega^{EI} \end{bmatrix} \quad (۲۲.۳)$$

همچنین مطابق روابط (۳۰.۲) تا (۳۲.۲) داریم:

$$] ^N \xleftarrow{2(180)}] ^Y \xleftarrow{2(90-\lambda)}] ^X \xleftarrow{3(\ell)}] ^E \rightarrow \boldsymbol{\omega}^{NE} = \boldsymbol{\omega}^{NX} + \boldsymbol{\omega}^{XE} = -\dot{\lambda} 2^Y + \dot{\ell} 3^X \quad (۲۳.۳)$$

رابطه فوق در دستگاه ناوبری به صورت زیر بیان می‌شود.

$$\begin{aligned}
 [\omega^{NE}]^N &= \dot{\ell}[T]^{NY}[T]^{YX}[3^X]^X - \dot{\lambda}[T]^{NY}[2^Y]^Y \\
 &= \dot{\ell} \begin{bmatrix} -1 & 0 & 0 \\ 0 & 1 & 0 \\ 0 & 0 & -1 \end{bmatrix} \begin{bmatrix} \sin \lambda & 0 & -\cos \lambda \\ 0 & 1 & 0 \\ \cos \lambda & 0 & \sin \lambda \end{bmatrix} \begin{bmatrix} 0 \\ 0 \\ 1 \end{bmatrix} - \dot{\lambda} \begin{bmatrix} -1 & 0 & 0 \\ 0 & 1 & 0 \\ 0 & 0 & -1 \end{bmatrix} \begin{bmatrix} 0 \\ 1 \\ 0 \end{bmatrix} \\
 &= \begin{bmatrix} \dot{\ell} \cos \lambda \\ -\dot{\lambda} \\ -\dot{\ell} \sin \lambda \end{bmatrix}
 \end{aligned} \quad (24.3)$$

با جایگذاری رابطه (۱۲.۳) در رابطه (۲۴.۳) خواهیم داشت:

$$[\omega^{NE}]^N = \begin{bmatrix} \frac{v_e}{(R_{\text{normal}} + h)} \\ -\frac{v_n}{R_{\text{meridian}} + h} \\ -\frac{v_e}{(R_{\text{normal}} + h)} \tan \lambda \end{bmatrix} \quad (25.3)$$

تذکر: در نزدیک قطب $\tan \lambda$ بزرگ می‌شود. بنابراین اندکی سرعت در امتداد شرق باعث بزرگ شدن مولفه سوم نرخ چرخش دستگاه جغرافیایی نسبت به دستگاه زمین می‌شود. با توجه به محدود بودن گام انتگرال‌گیری از معادلات ناوبری، افزایش غیرمتعارف سرعت زاویه‌ای دستگاه جغرافیایی نسبت به دستگاه زمین، باعث افزایش خطای ناوبری می‌شود. به همین دلیل برای ناوبری در نواحی قطبی به جای دستگاه جغرافیایی متداول، که محور N آن همواره رو به شمال است، از دستگاه جغرافیایی با سمت ثابت (WA)^۱ استفاده می‌شود. اگر به جای دستگاه N از دستگاه WA، که به اختصار با W نشان داده می‌شود، استفاده کنیم، خواهیم داشت:

$$[\omega^{WE}]^W = \begin{bmatrix} \frac{v_e}{(R_{\text{normal}} + h)} \\ -\frac{v_n}{R_{\text{meridian}} + h} \\ 0 \end{bmatrix} \quad (26.3)$$

بنابراین، مشکل تکینگی موجود در محاسبه سرعت زاویه‌ای دستگاه جغرافیایی نسبت به دستگاه زمین حل می‌شود.

^۱ Wander Azimuth

۳.۲.۳ معادله وضعیت

برای بیان معادله دیفرانسیل وضعیت دستگاه بدنی نسبت به دستگاه جغرافیایی، مطابق خواص تنسور سرعت زاویه‌ای خواهیم داشت:

$$\omega^{BI} = \omega^{BN} + \omega^{NE} + \omega^{EI} \quad (۲۷.۳)$$

لذا خواهیم داشت:

$$\omega^{BN} = \omega^{BI} - \omega^{NE} - \omega^{EI} \quad (۲۸.۳)$$

با بیان رابطه فوق در دستگاه بدنی خواهیم داشت:

$$[\omega^{BN}]^B = [\omega^{BI}]^B - [\omega^{NE}]^B - [\omega^{EI}]^B \quad (۲۹.۳)$$

رابطه فوق به صورت زیر بازنویسی می‌شود:

$$[\omega^{BN}]^B = [\omega^{BI}]^B - [T]^{BN}[\omega^{NE}]^N - [T]^{BN}[T]^{NE}[\omega^{EI}]^E \quad (۳۰.۳)$$

۴ حل معادلات ناوبری

همان گونه که گفته شد، شبیه سازی به معنای حل عددی معادلات ریاضی سیستم توسط رایانه است. در این فصل نحوه حل عددی معادلات ناوبری تشریح می شود. همچنین برخی نکات لازم برای افزایش دقت ناوبری بیان می شود.

۱.۴ حل دستگاه معادلات دیفرانسیل خطی همگن با ضرایب ثابت

دستگاه معادلات زیر را در نظر بگیرید:

$$\dot{\mathbf{x}}(t) = \mathbf{A}\mathbf{x}(t) \quad (۱.۴)$$

در رابطه فوق \mathbf{x} بردار متغیرهای حالت و \mathbf{A} ماتریس ضرایب ثابت دستگاه است. حل این مسئله به صورت زیر است:

$$\mathbf{x}(t) = e^{\mathbf{A}t} \mathbf{x}(0) \quad (۲.۴)$$

که $e^{\mathbf{A}t}$ ماتریس تبدیل حالت است. حال معادلات زیر را در نظر بگیرید:

$$\dot{\mathbf{X}}(t) = \mathbf{A}\mathbf{X}(t) \quad (۳.۴)$$

در رابطه فوق \mathbf{X} یک ماتریس است و \mathbf{A} ماتریس ضرایب ثابت دستگاه است. اگر ماتریس \mathbf{X} را به صورت $\mathbf{X} = [\mathbf{x}_1 \quad \mathbf{x}_2 \quad \dots \quad \mathbf{x}_n]^T$ تجزیه کنیم، با استفاده از رابطه (۲.۴) خواهیم داشت:

$$\mathbf{X}(t) = e^{\mathbf{A}t} \mathbf{X}(0) \quad (۴.۴)$$

۲.۴ انتشار گسسته

در این بخش صورت گسسته روابط انتشار بیان می شود.

۱.۲.۴ کسینوس‌های هادی

رابطه (۶۰.۲) که بیان ارتباط ماتریس انتقال و تنسور سرعت زاویه‌ای است را در نظر بگیرید:

$$[\dot{T}]^{BA} = [\bar{\Omega}^{BA}]^B [T]^{BA} \quad (۵.۴)$$

اگر فرض کنیم که ω^{BA} در بازه زمانی کوچک $t \in [t_k, t_{k+1}]$ ثابت باشد، مطابق رابطه (۴.۴) خواهیم داشت:

$$[T]^{BA} \Big|_{t_{k+1}} = e^{[\bar{\Omega}^{BA}]^B (t_{k+1} - t_k)} [T]^{BA} \Big|_{t_k} \quad (۶.۴)$$

از این به بعد برای راحتی رابطه (۶.۴) به صورت زیر نمایش داده می‌شود:

$$[T]^{BA} \Big|_{k+1} = e^{-[\Omega^{BA}]^B \Delta t} [T]^{BA} \Big|_k = e^S [T]^{BA} \Big|_k \quad (۷.۴)$$

در رابطه فوق S یک ماتریس شبه‌متقارن است که به صورت زیر تعریف می‌شود:

$$\mathbf{s} = -[\omega^{BA}]^B \Delta t = \begin{bmatrix} s_1 \\ s_2 \\ s_3 \end{bmatrix} \quad s = |\mathbf{s}| = \sqrt{s_1^2 + s_2^2 + s_3^2} \quad (۸.۴)$$

در رابطه (۷.۴)، بسط تیلور e^S به صورت زیر است:

$$e^S = \mathbf{E} + \mathbf{S} + \frac{\mathbf{S}^2}{2!} + \frac{\mathbf{S}^3}{3!} + \frac{\mathbf{S}^4}{4!} + \dots \quad (۹.۴)$$

مطابق روابط (۵.۲) تا (۶.۲) داریم:

$$\mathbf{S}^2 = \begin{bmatrix} -(s_2^2 + s_3^2) & s_1 s_2 & s_1 s_3 \\ s_2 s_1 & -(s_1^2 + s_3^2) & s_2 s_3 \\ s_3 s_1 & s_3 s_2 & -(s_1^2 + s_2^2) \end{bmatrix} \quad (۱۰.۴)$$

$$\mathbf{S}^3 = -(s_1^2 + s_2^2 + s_3^2) \mathbf{S} = -s^2 \mathbf{S} \quad (۱۱.۴)$$

$$\mathbf{S}^4 = -(s_1^2 + s_2^2 + s_3^2) \mathbf{S}^2 = -s^2 \mathbf{S}^2 \quad (۱۲.۴)$$

با جایگذاری روابط (۱۰.۴) تا (۱۲.۴) در رابطه (۹.۴) خواهیم داشت:

$$\begin{aligned}
 e^S &= \mathbf{E} + \mathbf{S} + \frac{\mathbf{S}^2}{2!} - \frac{s^2 \mathbf{S}}{3!} - \frac{s^2 \mathbf{S}^2}{4!} + \dots \\
 &= \mathbf{E} + \left[1 - \frac{s^2}{3!} + \frac{s^4}{5!} - \dots \right] \mathbf{S} + \left[\frac{1}{2!} - \frac{s^2}{4!} + \frac{s^4}{6!} - \dots \right] \mathbf{S}^2
 \end{aligned} \quad (۱۳.۴)$$

رابطه فوق را می‌توان به صورت زیر نوشت:

$$e^S = \mathbf{E} + \frac{\sin(s)}{s} \mathbf{S} + \frac{1 - \cos(s)}{s^2} \mathbf{S}^2 \quad (۱۴.۴)$$

۲.۲.۴ کواترنيون‌ها

مطابق رابطه (۶۳.۲) ارتباط بردار کواترنيون‌ها، $\mathbf{q} = [q_0 \quad q_1 \quad q_2 \quad q_3]^T$ ، با بردار سرعت زاویه‌ای نسبی قاب‌های مبدا و مقصد، $[\boldsymbol{\omega}^{BA}]^B = [p \quad q \quad r]^T$ ، به صورت زیر است:

$$\dot{\mathbf{q}} = \frac{1}{2} \mathbf{W} \mathbf{q} \quad (۱۵.۴)$$

که ماتریس \mathbf{W} به صورت زیر تعریف می‌شود:

$$\mathbf{W} = \begin{bmatrix} 0 & -p & -q & -r \\ p & 0 & r & -q \\ q & -r & 0 & p \\ r & q & -p & 0 \end{bmatrix} \quad (۱۶.۴)$$

حال اگر فرض کنیم که $\boldsymbol{\omega}^{BA}$ در بازه زمانی کوچک $t \in [t_k \quad t_{k+1}]$ ثابت باشد، مطابق رابطه (۴.۴) خواهیم داشت:

$$\mathbf{q}|_{t_{k+1}} = e^{\frac{1}{2} \mathbf{W} (t_{k+1} - t_k)} \mathbf{q}|_{t_k} \quad (۱۷.۴)$$

از این به بعد برای راحتی رابطه (۱۷.۴) به صورت زیر نمایش داده می‌شود:

$$\mathbf{q}|_{k+1} = e^{\frac{1}{2} \mathbf{W} \Delta t} \mathbf{q}|_k = e^{\mathbf{Z}} \mathbf{q}|_k \quad (۱۸.۴)$$

در رابطه فوق \mathbf{Z} یک ماتریس شبه‌متقارن است که به صورت زیر تعریف می‌شود:

$$\mathbf{Z} = \frac{1}{2} \mathbf{W} \Delta t = \begin{bmatrix} 0 & -z_1 & -z_2 & -z_3 \\ z_1 & 0 & z_3 & -z_2 \\ z_2 & -z_3 & 0 & z_1 \\ z_3 & z_2 & -z_1 & 0 \end{bmatrix}, \quad z = \sqrt{z_1^2 + z_2^2 + z_3^2} \quad (19.4)$$

در رابطه (۱۸.۴)، بسط تیلور $e^{\mathbf{Z}}$ به صورت زیر است:

$$e^{\mathbf{Z}} = \mathbf{I} + \mathbf{Z} + \frac{\mathbf{Z}^2}{2!} + \frac{\mathbf{Z}^3}{3!} + \frac{\mathbf{Z}^4}{4!} + \frac{\mathbf{Z}^5}{5!} \dots \quad (20.4)$$

می توان نشان داد که روابط زیر برقرار است:

$$\mathbf{Z}^2 = -(z_1^2 + z_2^2 + z_3^2) \mathbf{I} = -z^2 \mathbf{I} \quad (21.4)$$

$$\mathbf{Z}^3 = -(z_1^2 + z_2^2 + z_3^2) \mathbf{Z} = -z^2 \mathbf{Z} \quad (22.4)$$

$$\mathbf{Z}^4 = (z_1^2 + z_2^2 + z_3^2)^2 \mathbf{I} = z^4 \mathbf{I} \quad (23.4)$$

$$\mathbf{Z}^5 = (z_1^2 + z_2^2 + z_3^2)^2 \mathbf{Z} = z^4 \mathbf{Z} \quad (24.4)$$

با جایگذاری روابط (۲۱.۴) تا (۲۳.۴) در رابطه (۲۰.۴) خواهیم داشت:

$$\begin{aligned} e^{\mathbf{Z}} &= \mathbf{I} + \mathbf{Z} - \frac{z^2}{2!} \mathbf{I} - \frac{z^2}{3!} \mathbf{Z} + \frac{z^4}{4!} \mathbf{I} + \frac{z^4}{5!} \mathbf{Z} + \dots \\ &= \left(1 - \frac{z^2}{2!} + \frac{z^4}{4!} - \dots \right) \mathbf{I} + \left(1 - \frac{z^2}{3!} + \frac{z^4}{5!} - \dots \right) \mathbf{Z} \end{aligned} \quad (25.4)$$

رابطه فوق را می توان به صورت زیر نوشت:

$$e^{\mathbf{Z}} = \cos(z) \mathbf{I} + \frac{\sin(z)}{z} \mathbf{Z} \quad (26.4)$$

در انجام محاسبات وضعیت، استفاده از کواترنیون ها بهتر از کسینوس های هادی است [۲].

۳.۴ متعامدسازی^۱

سطرهای ماتریس دوران باید بر هم عمود باشند، ستون های آن نیز باید بر هم عمود باشند؛ اما به دلیل خطاهای عددی این شرایط دقیقاً محقق نمی شود و منجر به خطایی می شود که به «خطای تعامد»

¹ Orthogonalisation

معروف است. در مراجع مختلف روش‌های مختلفی برای کاهش این خطا ذکر شده‌است؛ در ابتدا روش مرجع [۱] بیان می‌شود. در این روش از الگوریتم بازگشتی زیر برای متعامدسازی ماتریس دوران استفاده می‌شود:

$$[T(n+1)]^{BI} = [T(n)]^{BI} + \frac{1}{2} [I - [T(n)]^{BI} [\overline{T(n)}]^{BI}] [T(n)]^{BI} \quad (27.4)$$

نشان داده می‌شود که اعمال شرط فوق، خطای تعامد را به اندازه یک مرتبه کوچک می‌کند. همچنین مرجع [۳] رابطه اصلاحی زیر استخراج شده‌است:

$$[T(n+1)]^{BI} = \frac{3}{2} [T(n)]^{BI} - \frac{1}{2} [T(n)]^{BI} [\overline{T(n)}]^{BI} [T(n)]^{BI} \quad (28.4)$$

۴.۴ نرمالیزه کردن^۱

اندازه هر یک از سطرها و ستون‌های ماتریس انتقال باید یک باشد. همچنین، اندازه بردار کواترنیون باید برابر یک باشد. اما خطاهای عددی باعث تغییر اندازه آن‌ها نسبت به مقدار یک می‌شود و لذا باید در هر گام از حل معادلات ناوبری، ماتریس انتقال را نرمالیزه کرد. روش انجام این کار را به صورت مجزا در مورد کواترنیون‌ها و ماتریس‌های انتقال بیان می‌کنیم.

۱.۴.۴ کواترنیون‌ها

اندازه بردار کواترنیون باید برابر یک باشد. در این جا روش مرجع [۲] برای کاهش این خطا ذکر می‌شود. فرض کنید که خطای انحراف از واحد به صورت زیر باشد:

$$\Delta q = 1 - \bar{q}q \quad (29.4)$$

لذا بردار نرمال کواترنیون به صورت زیر خواهد بود:

$$q_{\text{normal}} = \frac{q}{\sqrt{\bar{q}q}} = (1 - \Delta q)^{-0.5} q \approx (1 + \frac{1}{2} \Delta q) q \quad (30.4)$$

همچنین مولفه‌های قطری رابطه (۶۵.۲) نیز به صورت زیر نوشته می‌شود:

^۱ Normalization

$$\begin{aligned} t_{11} &: \{q_0^2 + q_1^2 - q_2^2 - q_3^2\} \rightarrow \{1 - 2(q_2^2 + q_3^2)\} \\ t_{22} &: \{q_0^2 - q_1^2 + q_2^2 - q_3^2\} \rightarrow \{1 - 2(q_1^2 + q_3^2)\} \\ t_{33} &: \{q_0^2 - q_1^2 - q_2^2 + q_3^2\} \rightarrow \{1 - 2(q_1^2 + q_2^2)\} \end{aligned} \quad (31.4)$$

۲.۴.۴ ماتریس انتقال

اندازه سطرها و ستون‌های ماتریس انتقال باید برابر با یک باشد. در این جا روش مرجع [۲] برای کاهش این خطا ذکر می‌شود. فرض کنید که ماتریس دوران شامل ستون‌های \mathbf{t}_i باشد که $i=1,2,3$ است. خطای انحراف از واحد را به صورت زیر نمایش می‌دهیم:

$$\Delta_i = 1 - \bar{\mathbf{t}}_i \mathbf{t}_i \quad (32.4)$$

لذا بردار نرمال ستون‌ها به صورت زیر خواهد بود:

$$\mathbf{t}_{i,\text{normal}} = \frac{\mathbf{t}_i}{\sqrt{\bar{\mathbf{t}}_i \mathbf{t}_i}} = (1 - \Delta_i)^{-0.5} \mathbf{t}_i \approx (1 + \frac{1}{2} \Delta_i) \mathbf{t}_i \quad (33.4)$$

در مورد سطرهای ماتریس دوران نیز به صورت مشابه عمل می‌شود. الگوریتم فوق را می‌توان در یک گام زمانی بر روی ستون‌ها و در گام دیگر بر روی سطرها انجام داد.

۵ ترازابی اولیه^۱

حل عددی معادلات دیفرانسیلی ناوبری، که در فصل ۳ استخراج شدند، نیازمند مشخص بودن شرایط اولیه این معادلات شامل موقعیت اولیه، سرعت اولیه و وضعیت اولیه است. در صورت نیاز به استفاده از سیستم ناوبری اینرسی، باید موقعیت اولیه وسیله مشخص باشد. سرعت اولیه وسیله نیز معمولاً مشخص (صفر) است. در اینصورت تنها مسئله‌ای که باقی می‌ماند، تعیین وضعیت اولیه وسیله است که به این کار ترازابی اولیه گفته می‌شود.

در ترازابی اولیه از خواص فیزیکی زمین مانند جاذبه و نرخ چرخش آن برای تخمین وضعیت وسیله استفاده می‌شود. روش‌های ساده‌ای وجود دارد که قادرند با استفاده از خروجی شتاب‌سنج‌ها وژیروسکوپ‌های سیستم ناوبری اینرسی، در مدت زمان کم (در حدود یک دقیقه)، وضعیت سیستم نسبت به دستگاه مرجع (مثلاً دستگاه جغرافیایی) را مشخص کنند. به این کار ترازابی خام^۲ اولیه گفته می‌شود. در این فصل معادلات ترازابی خام، دقت ترازابی خام و انواع روش‌های آن معرفی می‌شود.

۱.۵ استخراج ماتریس انتقال از روی خروجی حسگرها

قبل از حرکت وسیله، سیستم ناوبری اینرسی متصل به بدنه، نسبت به زمین ثابت است. بنابراین شتاب‌سنج‌ها مولفه‌های شتاب متناظر با نیروی عکس‌العمل سطح وژیروسکوپ‌ها مولفه‌های سرعت زاویه‌ای زمین را هر دو در دستگاه بدنی اندازه می‌گیرند.

$$[\tilde{\mathbf{f}}]^B = [-\mathbf{g}_L]^B = \begin{bmatrix} \tilde{f}_x \\ \tilde{f}_y \\ \tilde{f}_z \end{bmatrix} \quad (۱.۵)$$

$$[\tilde{\boldsymbol{\omega}}^{BI}]^B = [\boldsymbol{\omega}^{EI}]^B = \begin{bmatrix} \tilde{\omega}_x \\ \tilde{\omega}_y \\ \tilde{\omega}_z \end{bmatrix} \quad (۲.۵)$$

^۱ Initial Alignment

^۲ Coarse Alignment

علامت \sim حاکی از اندازه گیری کمیت موردنظر است. همچنین می توان نوشت:

$$[-\mathbf{g}_L]^B = [T]^{BN} [-\mathbf{g}_L]^N \quad (۳.۵)$$

$$[\boldsymbol{\omega}^{EI}]^B = [T]^{BN} [\boldsymbol{\omega}^{EI}]^N \quad (۴.۵)$$

با مفروض بودن اطلاعات فوق می توان ماتریس زیر را تشکیل داد:

$$\begin{bmatrix} [-\mathbf{g}_L]^B & [\boldsymbol{\omega}^{EI}]^B & [-\mathbf{g}_L]^B \times [\boldsymbol{\omega}^{EI}]^B \end{bmatrix} = [T]^{BN} \begin{bmatrix} [-\mathbf{g}_L]^N & [\boldsymbol{\omega}^{EI}]^N & [-\mathbf{g}_L]^N \times [\boldsymbol{\omega}^{EI}]^N \end{bmatrix} \quad (۵.۵)$$

حال تعریف زیر را در نظر بگیرید:

$$\mathbf{M} = \begin{bmatrix} [-\mathbf{g}_L]^N & [\boldsymbol{\omega}^{EI}]^N & [-\mathbf{g}_L]^N \times [\boldsymbol{\omega}^{EI}]^N \end{bmatrix} \quad (۶.۵)$$

بنابراین:

$$[T]^{BN} = \begin{bmatrix} [-\mathbf{g}_L]^B & [\boldsymbol{\omega}^{EI}]^B & [-\mathbf{g}_L]^B \times [\boldsymbol{\omega}^{EI}]^B \end{bmatrix} \mathbf{M}^{-1} \quad (۷.۵)$$

با حل رابطه (۷.۵)، تخمین خام اولیه ای از وضعیت سیستم $([T]^{BN})$ حاصل می شود. برای این منظور مطابق پیوست الف داریم:

$$[-\mathbf{g}_L]^N = \begin{bmatrix} 0 \\ 0 \\ -g \end{bmatrix} \quad (۸.۵)$$

همچنین مطابق پیوست الف و با فرض کروی بودن زمین داریم:

$$[\boldsymbol{\omega}^{EI}]^N = \begin{bmatrix} \omega^{EI} \cos \lambda \\ 0 \\ -\omega^{EI} \sin \lambda \end{bmatrix} \quad (۹.۵)$$

با استفاده از روابط (۸.۵) و (۹.۵) همچنین مطابق پیوست الف و با فرض کروی بودن زمین داریم:

(۹.۵) معکوس ماتریس \mathbf{M} به صورت زیر محاسبه می شود:

$$\mathbf{M}^{-1} = \begin{bmatrix} [-\mathbf{g}_L]^N & [\boldsymbol{\omega}^{EI}]^N & [-\mathbf{g}_L]^N \times [\boldsymbol{\omega}^{EI}]^N \end{bmatrix}^{-1} = \begin{bmatrix} \frac{-\tan \lambda}{g} & 0 & \frac{-1}{g} \\ \frac{1}{\omega^{EI} \cos \lambda} & 0 & 0 \\ 0 & \frac{-1}{g \omega^{EI} \cos \lambda} & 0 \end{bmatrix} \quad (۱۰.۵)$$

با جایگذاری روابط (۱.۵)، (۲.۵) و (۱۰.۵) در رابطه (۷.۵) خواهیم داشت:

$$[T]^{BN} \approx \begin{bmatrix} \frac{\sec \lambda}{\omega^{EI}} \tilde{\omega}_x - \frac{\tan \lambda}{g} \tilde{f}_x & \frac{\sec \lambda}{g \omega^{EI}} (\tilde{f}_z \tilde{\omega}_y - \tilde{f}_y \tilde{\omega}_z) & \frac{-1}{g} \tilde{f}_x \\ \frac{\sec \lambda}{\omega^{EI}} \tilde{\omega}_y - \frac{\tan \lambda}{g} \tilde{f}_y & \frac{\sec \lambda}{g \omega^{EI}} (\tilde{f}_x \tilde{\omega}_z - \tilde{f}_z \tilde{\omega}_x) & \frac{-1}{g} \tilde{f}_y \\ \frac{\sec \lambda}{\omega^{EI}} \tilde{\omega}_z - \frac{\tan \lambda}{g} \tilde{f}_z & \frac{\sec \lambda}{g \omega^{EI}} (\tilde{f}_y \tilde{\omega}_x - \tilde{f}_x \tilde{\omega}_y) & \frac{-1}{g} \tilde{f}_z \end{bmatrix} \quad (۱۱.۵)$$

توجه: در رابطه (۱۱.۵) در صورتیکه دو سطر و یا دو ستون موجود باشد، سطر یا ستون سوم از شرط تعامد قابل محاسبه است.

۲.۵ اثر خطای حسگرها

اگر خروجی حسگرها خطا نداشت، رابطه (۱۱.۵) نیز فاقد خطا بود و از روی $[T]^{BN}$ ، زوایای رول، پیچ و یاو بدون خطا محاسبه می‌شد. در ادامه، اثر خطای حسگرها در محاسبه ماتریس وضعیت و نیز زوایای اویلر بررسی می‌شود.

با توجه به روابط (۱.۵)، (۲.۵) و (۷.۵) خواهیم داشت:

$$[T]^{B\hat{N}} = \begin{bmatrix} [\tilde{\mathbf{f}}]^B & [\tilde{\boldsymbol{\omega}}^{BI}]^B & [\tilde{\mathbf{f}}]^B \times [\tilde{\boldsymbol{\omega}}^{BI}]^B \end{bmatrix} \mathbf{M}^{-1} \quad (۱۲.۵)$$

یادآوری می‌شود که در رابطه (۱۲.۵) $[T]^{B\hat{N}}$ ، $[\tilde{\mathbf{f}}]^B$ و $[\tilde{\boldsymbol{\omega}}^{BI}]^B$ به ترتیب تخمین ماتریس تبدیل، نیروی ویژه حس شده و سرعت دورانی حس شده توسط حسگرهای اینرسی هستند و به صورت زیر مدل می‌شوند:

$$\tilde{\mathbf{f}} = \mathbf{f} + \delta \mathbf{f} = -\mathbf{g}_L + \delta \mathbf{f} \rightarrow [\tilde{\mathbf{f}}]^B = [\delta \mathbf{f}]^B - [\mathbf{g}_L]^B \quad (۱۳.۵)$$

$$\tilde{\boldsymbol{\omega}}^{BI} = \boldsymbol{\omega}^{BI} + \delta \boldsymbol{\omega}^{BI} = \boldsymbol{\omega}^{EI} + \delta \boldsymbol{\omega}^{BI} \rightarrow [\tilde{\boldsymbol{\omega}}^{BI}]^B = [\boldsymbol{\omega}^{EI}]^B + [\delta \boldsymbol{\omega}^{BI}]^B \quad (۱۴.۵)$$

$$[T]^{B\hat{N}} = [T]^{BN} [T]^{N\hat{N}} = [T]^{BN} [\bar{T}]^{\hat{N}N} = [T]^{BN} [\mathbf{R}^{\hat{N}N}]^N = [T]^{BN} ([\mathbf{E}]^N + [\epsilon \mathbf{R}^{\hat{N}N}]^N) \quad (۱۵.۵)$$

در رابطه (۱۵.۵)، $\varepsilon \mathbf{R}^{\hat{N}N}$ تنسور شبه‌متقارن تنسور انحراف^۱ ($\varepsilon \mathbf{r}^{\hat{N}N}$) است که انحراف مقدار محاسبه شده ماتریس تبدیل ($[\mathbf{T}]^{\hat{N}B}$) از مقدار واقعی آن ($[\mathbf{T}]^{NB}$) را نشان می‌دهد. با مساوی قرار دادن سمت روابط (۱۲.۵) و (۱۵.۵) و سپس استفاده از روابط (۱۳.۵) و (۱۴.۵) خواهیم داشت:

$$\begin{aligned} [\mathbf{T}]^{BN}([\mathbf{E}]^N + [\varepsilon \mathbf{R}^{\hat{N}N}]^N) = \\ \left[[\delta \mathbf{f}]^B - [\mathbf{g}_L]^B \quad [\delta \boldsymbol{\omega}^{BI}]^B + [\boldsymbol{\omega}^{EI}]^B \quad ([\delta \mathbf{f}]^B - [\mathbf{g}_L]^B) \times ([\delta \boldsymbol{\omega}^{BI}]^B + [\boldsymbol{\omega}^{EI}]^B) \right] \mathbf{M}^{-1} \\ \approx \left[[\delta \mathbf{f}]^B \quad [\delta \boldsymbol{\omega}^{BI}]^B \quad [\delta \mathbf{f}]^B \times [\boldsymbol{\omega}^{EI}]^B - [\mathbf{g}_L]^B \times [\delta \boldsymbol{\omega}^{BI}]^B \right] \mathbf{M}^{-1} \\ + \left[-[\mathbf{g}_L]^B \quad [\boldsymbol{\omega}^{EI}]^B \quad -[\mathbf{g}_L]^B \times [\boldsymbol{\omega}^{EI}]^B \right] \mathbf{M}^{-1} \end{aligned} \quad (۱۶.۵)$$

با تفریق رابطه (۷.۵) از رابطه (۱۶.۵) خواهیم داشت:

$$[\mathbf{T}]^{BN}[\varepsilon \mathbf{R}^{\hat{N}N}]^N = \left[[\delta \mathbf{f}]^B \quad [\delta \boldsymbol{\omega}^{BI}]^B \quad [\delta \mathbf{f}]^B \times [\boldsymbol{\omega}^{EI}]^B - [\mathbf{g}_L]^B \times [\delta \boldsymbol{\omega}^{BI}]^B \right] \mathbf{M}^{-1} \quad (۱۷.۵)$$

رابطه (۱۷.۵) خطای تخمین وضعیت را به خطای حسگرها ارتباط می‌دهد. برای برآورد دقت فرآیند ترازایی خام اولیه، در ابتدا رابطه فوق را به صورت زیر بازنویسی می‌کنیم:

$$[\varepsilon \mathbf{R}^{\hat{N}N}]^N = \left[[\delta \mathbf{f}]^N \quad [\delta \boldsymbol{\omega}^{BI}]^N \quad [\delta \mathbf{f}]^N \times [\boldsymbol{\omega}^{EI}]^N - [\mathbf{g}_L]^N \times [\delta \boldsymbol{\omega}^{BI}]^N \right] \mathbf{M}^{-1} \quad (۱۸.۵)$$

حال تعاریف زیر را در نظر بگیرید:

$$[\delta \mathbf{f}]^N = \begin{bmatrix} \delta f_n \\ \delta f_e \\ \delta f_d \end{bmatrix} \quad [\delta \boldsymbol{\omega}^{BI}]^N = \begin{bmatrix} \delta \omega_n \\ \delta \omega_e \\ \delta \omega_d \end{bmatrix} \quad (۱۹.۵)$$

با جایگذاری روابط (۸.۵) تا (۱۰.۵) و (۱۹.۵) در رابطه (۱۸.۵) خواهیم داشت:

$$[\varepsilon \mathbf{R}^{\hat{N}N}]^N = \begin{bmatrix} -\frac{\tan \lambda}{g} \delta f_n + \frac{\sec \lambda}{\omega^{EI}} \delta \omega_n & -\frac{\sec \lambda}{\omega^{EI}} \delta \omega_e + \frac{\tan \lambda}{g} \delta f_e & -\frac{1}{g} \delta f_n \\ -\frac{\tan \lambda}{g} \delta f_e + \frac{\sec \lambda}{\omega^{EI}} \delta \omega_e & \frac{\sec \lambda}{\omega^{EI}} \delta \omega_n - \frac{1}{g} \delta f_d - \frac{\tan \lambda}{g} \delta f_n & -\frac{1}{g} \delta f_e \\ -\frac{\tan \lambda}{g} \delta f_d + \frac{\sec \lambda}{\omega^{EI}} \delta \omega_d & \frac{1}{g} \delta f_e & -\frac{1}{g} \delta f_d \end{bmatrix} \quad (۲۰.۵)$$

رابطه فوق نشان می‌دهد که در حضور خطای حسگرها ماتریس فوق لزوماً شبه‌متقارن نیست. اما در حالت ایده‌آل داریم:

^۱ Tilt

$$[\varepsilon \mathbf{R}^{\hat{N}N}]^N = \begin{bmatrix} 0 & -\varepsilon\psi & \varepsilon\theta \\ \varepsilon\psi & 0 & -\varepsilon\phi \\ -\varepsilon\theta & \varepsilon\phi & 0 \end{bmatrix} \quad (21.5)$$

حال فرض کنید که شرایط زیر که به معنای صفر بودن قطر اصلی ماتریس رابطه (۲۰.۵) است، برقرار باشد.

$$\begin{cases} \delta f_d = 0 \\ \delta f_n = \frac{g}{\omega^{EI} \sin \lambda} \delta \omega_n \\ \delta f_n = \frac{g}{\omega^{EI} \cos \lambda} \delta \omega_d \end{cases} \quad (22.5)$$

در صورتیکه شرایط رابطه (۲۲.۵) محقق شود، دقت الگوریتم تراز خام از رابطه (۲۳.۵) بدست می‌آید.

$$\begin{cases} \varepsilon\phi = \frac{1}{g} \delta f_e \\ \varepsilon\theta = -\frac{1}{g} \delta f_n \\ \varepsilon\psi = \frac{\sec \lambda}{\omega^{EI}} \delta \omega_e - \frac{\tan \lambda}{g} \delta f_e \end{cases} \quad (23.5)$$

طبق رابطه (۲۳.۵)، مولفه‌های خطای وضعیت به عرض جغرافیایی و خطای حسگرهای اینرسی وابسته است. مطابق این رابطه با افزایش دقت حسگرهای اینرسی، دقت الگوریتم شمال‌یاب نیز افزایش می‌یابد. در مورد خطای کانال سمت مطابق این رابطه می‌توان گفت:

$$\varepsilon\psi \leq \frac{\sec \lambda}{\omega^{EI}} |\delta \omega_e| + \frac{|\tan \lambda|}{g} |\delta f_e| \quad (24.5)$$

منابع و مراجع

- [۱] Peter H. Zipfel; *Modeling and Simulation of Aerospace Vehicle Dynamics*, 1st Edition, AIAA Educational Series, 2000.
- [۲] D. H. Titterton and J. L. Weston; *Strapdown Inertial Navigation Technology*, 2nd Edition, IEE, 2004.
- [۳] Robert M. Rogers; *Applied Mathematics in Integrated Navigation Systems*, 2nd Edition, AIAA Inc., 2003.

پیوست الف: مدل زمین

در این پیوست دو مسئله مهم در ناوبری اینرسی بررسی می‌شود:

- هندسه زمین بیضی‌گون
- جاذبه زمین بیضی‌گون

دقت در مدل‌سازی زمین باعث افزایش دقت فرآیند ناوبری می‌شود. مدل معروف مورد استفاده در اکثر مراجع، مدل WGS-84 است که در ادامه معرفی می‌شود.

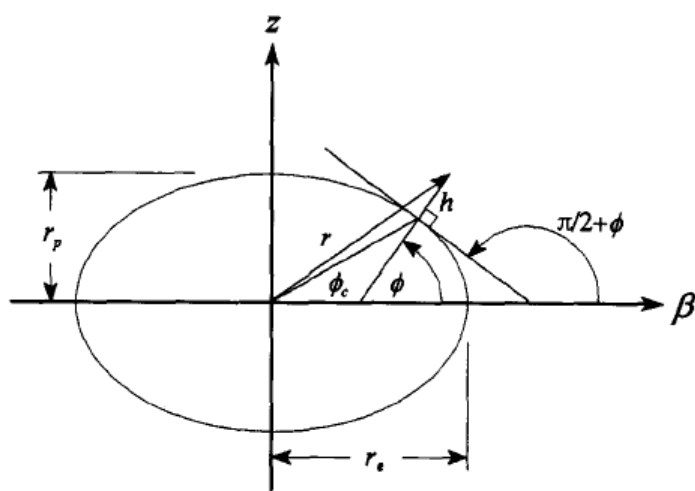
هندسه زمین بیضی‌گون

پارامترهای مدل زمین بیضوی به صورت یک برش نصف‌النهاری در شکل الف-۱ نشان داده شده‌است. در این شکل محور Z در راستای محور دوران زمین است و β در صفحه استوا قرار دارد. مطابق هندسه مقاطع مخروطی، روابط زیر در مورد پارامترهای خروج از مرکز (ε)، انحنای بیضی (e) و ضریب پخیدگی (f) برقرار است:

$$\varepsilon = \left(1 - \frac{r_p^2}{r_e^2} \right)^{\frac{1}{2}} \quad (\text{الف-۱})$$

$$e = 1 - \frac{r_p}{r_e} \quad (\text{الف-۲})$$

$$f = \frac{1}{e} \quad (\text{الف-۳})$$



شکل الف-۱ هندسه زمین بیضوی

در ادامه قصد داریم تا موقعیت زمینی (x, y, z در دستگاه ECEF) را برحسب طول و عرض جغرافیایی و ارتفاع نسبت به مدل بیضی‌گون مبنا بیان کنیم. مطابق شکل الف-۱ داریم:

$$\frac{\beta^2}{r_e^2} + \frac{z^2}{r_p^2} = 1 \quad (\text{الف-۴})$$

با مشتق‌گیری از رابطه فوق داریم:

$$\frac{2\beta d\beta}{r_e^2} + \frac{2z dz}{r_p^2} = 0 \quad (\text{الف-۵})$$

یا:

$$\frac{dz}{d\beta} = -\frac{\beta r_p^2}{z r_e^2} \quad (\text{الف-۶})$$

مطابق شکل الف-۱ داریم:

$$\frac{dz}{d\beta} = \tan\left(\frac{\pi}{2} + \phi\right) = -\frac{1}{\tan \phi} \quad (\text{الف-۷})$$

با توجه به روابط (الف-۶) و (الف-۷) داریم:

$$\frac{1}{\tan \phi} = \frac{\beta r_p^2}{z r_e^2} \quad (\text{الف-۸})$$

حال رابطه (الف-۱) را بازنویسی می‌کنیم:

$$\frac{r_p^2}{r_e^2} = (1 - \varepsilon^2) \quad (\text{الف-۹})$$

با جایگذاری (الف-۹) در (الف-۸) داریم:

$$\frac{z}{\beta} = (1 - \varepsilon^2) \tan \phi \quad (\text{الف-۱۰})$$

اما مطابق شکل الف-۱ داریم:

$$\frac{z}{\beta} = \tan \phi_c \quad (\text{الف-۱۱})$$

با استفاده از روابط (الف-۱۰) و (الف-۱۱) می‌توان نوشت:

$$\tan \phi_c = (1 - \varepsilon^2) \tan \phi \quad (\text{الف-۱۲})$$

با توجه به رابطه (الف-۴) داریم:

$$\beta^2 = r_e^2 \left(1 - \frac{z^2}{r_p^2} \right) \quad (\text{الف-۱۳})$$

با ترکیب رابطه (الف-۱۳) با رابطه (الف-۱۰) خواهیم داشت:

$$\beta = \frac{r_e \cos \phi}{(1 - \varepsilon^2 \sin^2 \phi)^{\frac{1}{2}}} \quad (\text{الف-۱۴})$$

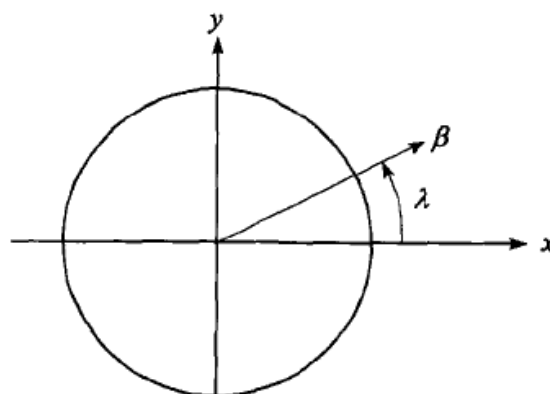
همچنین با ترکیب رابطه (الف-۱۴) با رابطه (الف-۱۰) خواهیم داشت:

$$z = \frac{r_e (1 - \varepsilon^2) \sin \phi}{(1 - \varepsilon^2 \sin^2 \phi)^{\frac{1}{2}}} \quad (\text{الف-۱۵})$$

مطابق شکل الف-۲ موقعیت زمینی بر حسب فاصله شعاعی (β) و طول جغرافیایی (λ) مشخص می‌شود:

$$x = \beta \cos \lambda \quad (\text{الف-۱۶})$$

$$y = \beta \sin \lambda \quad (\text{الف-۱۷})$$



شکل الف-۲ صفحه استوا (x-y)

با توجه به رابطه (الف-۱۴)، روابط (الف-۱۶) و (الف-۱۷) را بازنویسی می‌کنیم:

$$x = \frac{r_e \cos \phi \cos \lambda}{(1 - \varepsilon^2 \sin^2 \phi)^{\frac{1}{2}}} \quad (\text{الف-۱۸})$$

$$y = \frac{r_e \cos \phi \sin \lambda}{(1 - \varepsilon^2 \sin^2 \phi)^{\frac{1}{2}}} \quad (\text{الف-۱۹})$$

با تعمیم روابط (الف-۱۵)، (الف-۱۸) و (الف-۱۹) برای پوشش ارتفاع خواهیم داشت:

$$x = \left(\frac{r_e}{(1 - \varepsilon^2 \sin^2 \phi)^{\frac{1}{2}}} + h \right) \cos \phi \cos \lambda \quad (\text{الف-۲۰})$$

$$y = \left(\frac{r_e}{(1 - \varepsilon^2 \sin^2 \phi)^{\frac{1}{2}}} + h \right) \cos \phi \sin \lambda \quad (\text{الف-۲۱})$$

$$z = \left(\frac{r_e (1 - \varepsilon^2)}{(1 - \varepsilon^2 \sin^2 \phi)^{\frac{1}{2}}} + h \right) \sin \phi \quad (\text{الف-۲۲})$$

شعاع انحناء زمین

شعاع انحنای زمین در راستای خطوط با طول جغرافیایی و عرض جغرافیایی به‌ترتیب با R_{meridian} و R_{normal} تعریف می‌شوند. در مباحث ناوبری از این دو پارامتر استفاده می‌شود. بر طبق مباحث ریاضی، شعاع انحنای یک منحنی با طول جغرافیایی ثابت، به صورت زیر محاسبه می‌شود:

$$R_{\text{meridian}} = \pm \frac{\left(1 + \left(\frac{dz}{d\beta}\right)^2\right)^{\frac{3}{2}}}{\frac{d^2 z}{d\beta}} \quad (\text{الف-۲۳})$$

با مشتق‌گیری از رابطه (الف-۶) داریم:

$$\frac{d^2 z}{d\beta^2} = -\frac{r_p^4}{r_e^2 z^3} \quad (\text{الف-۲۴})$$

با جایگذاری روابط (الف-۶) و (الف-۹) در رابطه (الف-۲۳) خواهیم داشت:

$$R_{\text{meridian}} = \frac{\left(z^2 + (1 - \varepsilon^2)^2 \beta^2\right)^{\frac{3}{2}}}{r_p^2 (1 - \varepsilon^2)} \quad (\text{الف-۲۵})$$

با جایگذاری روابط (الف-۱۴) و (الف-۱۵) در رابطه (الف-۲۵) خواهیم داشت:

$$R_{\text{meridian}} = \frac{r_e (1 - \varepsilon^2)}{\left(1 - \varepsilon^2 \sin^2 \phi\right)^{\frac{3}{2}}} \quad (\text{الف-۲۶})$$

شعاع سطح بیضی‌گون در یک منحنی با عرض جغرافیایی ثابت با β نشان داده شد؛ شعاع انحنای عمود بر سطح بیضی‌گون به صورت زیر است:

$$R_{\text{normal}} = \frac{\beta}{\cos \phi} \quad (\text{الف-۲۷})$$

با استفاده از رابطه (الف-۱۴)، رابطه (الف-۲۷) به صورت زیر نوشته می‌شود:

$$R_{\text{normal}} = \frac{r_e}{\left(1 - \varepsilon^2 \sin^2 \phi\right)^{\frac{1}{2}}} \quad (\text{الف-۲۸})$$

در جدول الف-۱ ثوابت چندین مدل زمین بیضوی آورده شده است. تفاوت این مدل‌ها مربوط به پیشرفت‌های تکنولوژی با گذشت زمان و همچنین تفاوت کاربردها است. در جدول الف-۲، برخی ثوابت مدل معروف WGS-84 آورده شده است.

جدول الف-۱ ثوابت چند مدل زمین بیضوی

Reference ellipsoid	r_e , m	f
Clarke 1866	6378206.4	294.9786982
Clarke 1880	6378249.145	294.465
International	6378388	297
Bessel	6377397.155	299.1528128
Everest	6377276.345	300.8017
Modified Everest	6377304.063	300.8017
Australian National	6378160	298.25
South American 1969	6378160	298.25
Airy	6377564.396	299.3249646
Modified Airy	6377340.189	299.3249646
Hough	6378270	297
Fischer 1960 (South Asia)	6378155	298.3
Fischer 1960 (Mercury)	6378166	298.3
Fischer 1968	6378150	298.3
WGS-60	6378165	298.3
WGS-66	6378145	298.25
WGS-72	6378135	298.26
WGS-84	6378137	298.257223563

جدول الف-۲ ثوابت مدل WGS-84

<i>Defining parameters</i>		
Equatorial radius r_e	6378137	m
Angular velocity, $\omega_{i/e}$	7.292115×10^{-5}	rad/s
Earth's gravitational constant, μ	3.986005×10^{14}	m ³ /s ²
Second gravitational constant, J_2	1.08263×10^{-3}	
<i>Derived constants</i>		
Flattening, f	298.257223563	
Polar radius, r_p	6356752.3142	m
First eccentricity, e	0.0818191908426	
Gravity at equator, g_{WGS_0}	9.7803267714	m/s ²
Gravity formula constant, g_{WGS_1}	0.00193185138639	
Mean value (normal) gravity, g	9.7976446561	m/s ²

برخی روابط پر استفاده

با استفاده از روابط سینماتیکی می‌توان نشان داد که روابط زیر برقرار هستند:

$$[\omega^{GE}]^G = \begin{bmatrix} \dot{\lambda} \cos \phi \\ -\dot{\phi} \\ -\dot{\lambda} \sin \phi \end{bmatrix} = \begin{bmatrix} \frac{v_{east}}{(R_{normal} + h)} \\ \frac{-v_{north}}{(R_{meridian} + h)} \\ \frac{-v_{east}}{(R_{normal} + h)} \tan \phi \end{bmatrix} \quad (\text{الف-۲۹})$$

$$[\omega^{EI}]^G = \begin{bmatrix} \omega^{EI} \cos \phi \\ 0 \\ -\omega^{EI} \sin \phi \end{bmatrix} \quad (\text{الف-۳۰})$$

جاذبه زمین بیضی‌گون

جاذبه گرانشی (نیروی جاذبه دوطرفه ناشی از دو جرم) در دستگاه ECI به‌صورت زیر مدل می‌شود:

$$\begin{cases} G_x = -\frac{\mu}{R^2} \left(1 + \frac{3}{2} J_2 \left(\frac{r_e}{R} \right)^2 \left(1 - 5 \left(\frac{z}{R} \right)^2 \right) \right) \frac{x}{R} \\ G_y = -\frac{\mu}{R^2} \left(1 + \frac{3}{2} J_2 \left(\frac{r_e}{R} \right)^2 \left(1 - 5 \left(\frac{z}{R} \right)^2 \right) \right) \frac{y}{R} \\ G_z = -\frac{\mu}{R^2} \left(1 + \frac{3}{2} J_2 \left(\frac{r_e}{R} \right)^2 \left(3 - 5 \left(\frac{z}{R} \right)^2 \right) \right) \frac{z}{R} \end{cases} \quad (\text{الف-۳۱})$$

در رابطه (الف-۳۱)، تنها اولین ترم زمین غیرکروی (J_2) لحاظ شده‌است؛ همچنین در این رابطه R به‌صورت زیر محاسبه می‌شود:

$$R = \sqrt{x^2 + y^2 + z^2} \quad (\text{الف-۳۲})$$

برای محاسبه میزان جاذبه در سطح زمین، باید میزان شتاب جانب مرکز ناشی از چرخش زمین را نیز مدل کنیم. با توجه به قوانین پایه علم دینامیک خواهیم داشت:

$$\mathbf{g} = \mathbf{G} - \boldsymbol{\Omega}^{EI} \boldsymbol{\Omega}^{EI} \mathbf{r} \quad (\text{الف-۳۳})$$